

بررسی واکنش گدازه/سنگ، ذوببخشی و خاستگاه پریدوتیت‌های کرمانشاه به کمک شواهد بافتی و شیمی کانی

علی مرادپور، رضا زارعی سهامیه^{*}، احمد احمدی خلجی، رامین ساریخانی

گروه زمین‌شناسی، دانشکده علوم پایه، دانشگاه لرستان، خرم‌آباد، ایران

(دریافت مقاله: ۹۵/۱۲/۳، نسخه نهایی: ۹۶/۴/۲۶)

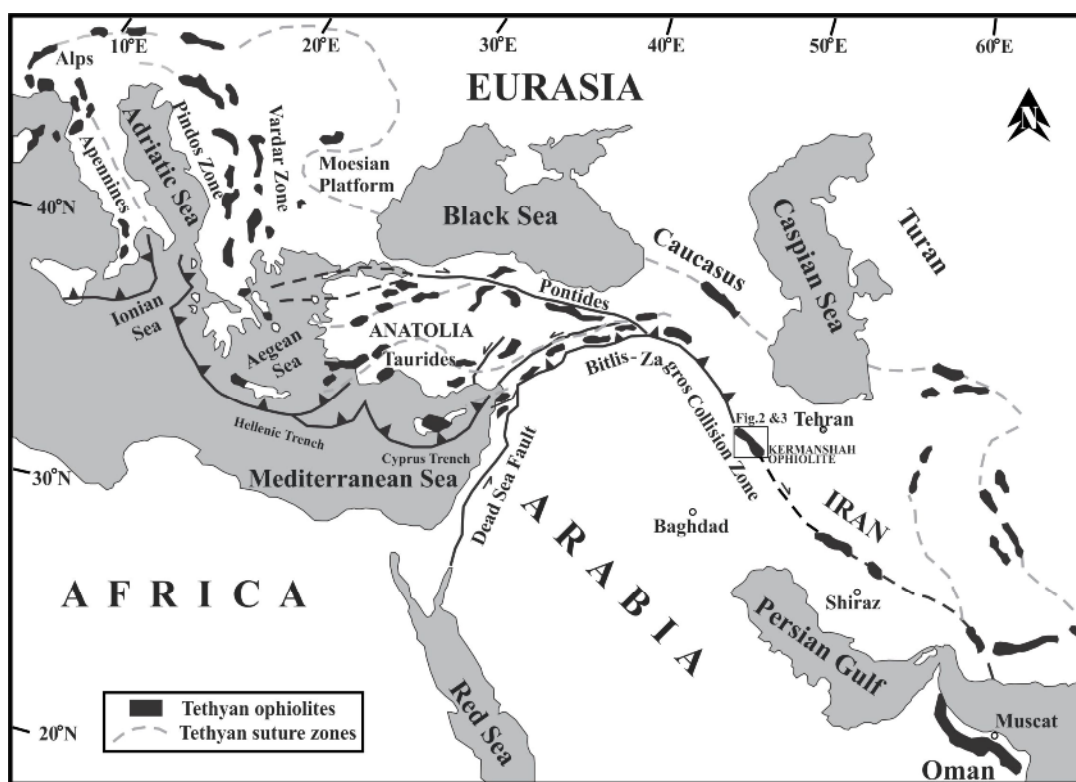
چکیده: افیولیت کرمانشاه واقع در کمربند افیولیتی بیرونی زاگرس با اجزاء مختلف گوشتیهای و پوستهای، بازماندهای از شاخه جنوبی اقیانوس نئوتیس در ایران به شمار می‌آید. نمودارهای تقسیم‌بندی کانی‌ها بیانگر ترکیب فورستریتی الیوین در دونیت، هارزبورژیت و لرزولیت‌ها و ترکیب کربیزولیتی الیوین در ورلیت‌ها و نیز برای ارتوبیروکسن و کلینوبیروکسن‌ها به ترتیب نشان دهنده ترکیب انسانیتی و دیوبسید تا اوژیتی هستند. شواهد بافتی چون تیغه‌های جدایشی کلینوبیروکسن در ارتوبیروکسن و دانه‌های زنجیر مانند اسپینل در کانی‌های موجود در سنگ‌های فامافیک منطقه‌های صحنه، هرسین- نورآباد و میانراهان شواهدی از سرد شدن همراه با کاهش فشار، گدازه‌بخشی و واکنش مذاب/سنگ را نشان می‌دهند. مودال بسیار پایین کلینوبیروکسن، الیوین غنی از منیزیم و مقدار بالای Cr# و نسبت Cr/Al در اسپینل‌های مناطق مورد بررسی همگی نشان دهنده نرخ ذوب‌بخشی بالا برای هارزبورژیت و دونیت‌ها هستند. مقادیر FeO/MgO و TiO₂ و Al₂O₃ محسوب شده در گدازه مولد اسپینل‌ها و همه نمودارهای تعیین کننده محیط زمین ساختی ماقمایی نشان می‌دهند که پریدوتیت منطقه‌های مورد بررسی از ماقماهای بونینیتی جلوی قوس (مانند پیکریت‌ها و تولئیت‌های جزایر قوسی) در موقعیت SSZ شکل گرفته‌اند.

واژه‌های کلیدی: پریدوتیت گوشتیهای؛ بونینیت؛ قوس؛ واکنش گدازه-سنگ؛ افیولیت کرمانشاه.

عربی و ایران و در امتداد پهنه خرد شده زاگرس رخنمون یافته‌اند [۱] (شکل ۱). افیولیت‌های زاگرس که در مناطقی چون سرو آباد، کرمانشاه، نیریز، بافت [۴-۲] و پنجوین- والش در عراق [۵] قرار دارند، تاریخی از همگرایی و زمین‌ساخت اقیانوس تیسیس جنوبی مستقر بین سپر عربی (گندوانا) و پهنه قاره‌ای سندنج- سیرجان ایران را در خود دارند [۶]. با آنکه افیولیت‌های کرمانشاه از نظر چگونگی تشکیل همانند افیولیت‌های عمان در نظر گرفته شده‌اند [۶] اما با توجه به قرارگیری اجزاء سنگی در کنار هم، تا حد زیادی با دیگر افیولیت‌های کلاسیک تیسی نظیر ترودوس و عمان که چینه- شناسی اقیانوسی نسبتاً کاملی دارند، تفاوت دارند. شواهدی

مقدمه

سیستم کوه‌زایی مزوژوئیک و سنوزوئیک آلپ- هیمالیا به عنوان یک سیستم کوه‌زایی کلاسیک برخورد قاره‌ای به شمار می‌آید [۱]. کمربند چین خورده- رورانده زاگرس که از مرز ایران- ترکیه تا شمال هرمز تداوم دارد، جزئی از این کمربند کوه‌زایی است. تکامل زمین‌دینامیکی کمربند فعل کوه‌زایی زاگرس که جدا کننده کرانه فعل شمالی (اوراسیایی) از کرانه غیر فعل جنوبی (عربی) است، بیشتر وابسته به باز و بسته شدن اقیانوس نئوتیس است. این کمربند کوه‌زایی با طولی معادل ۳۰۰ کیلومتر مشکل از سفره‌های کم عمق تا عمیق و دنباله‌های افیولیتی است که در اثر برخورد قاره‌ای بین آفو- ر-



شکل ۱ پراکندگی افیولیت‌های تیسی در مناطق جوش خوردگی سیستم کوه‌زایی آلپ-هیمالیا، برگرفته از مرجع [۱] با اندکی تغییرات.

اثبات وقوع واکنش گدازه/سنگ و ذوببخشی در خاستگاه ماقمای پدید آورنده این سنگ‌ها در افیولیت‌های غرب ایران (کرمانشاه) استفاده شود.

موقعیت زمین‌شناسی

در منطقه کرمانشاه از جنوب غرب به شمال شرق سه واحد ساختاری اصلی وجود دارد که به ترتیب عبارتند از: کمربند چین خودگاه زاگرس، پهنه خرد شده همراه با افیولیت‌ها (زاگرس مرتفع) و پهنه سندنج - سیرجان. مجموعه افیولیتی کرمانشاه در بخش شمال غربی پهنه افیولیتی زاگرس و بین سپر عربی و پهنه سندنج-سیرجان واقع است.

این مجموعه افیولیتی به دو بخش مجزا قابل تفکیک است: مجموعه‌ی صحنه، هرسین - نورآباد در جنوب شرق و مجموعه‌ی میانراهان در شمال غرب. مجموعه‌ی صحنه، هرسین - نورآباد با مختصات $10^{\circ} 34^{\prime}$ تا $30^{\circ} 34^{\prime}$ عرض شمالی و $30^{\circ} 47^{\prime}$ تا $48^{\circ} 00^{\prime}$ طول شرقی بیشتر مشتمل از پریدوتیت و گابروهایی است که توسط دایک‌ها مورد هجوم قرار گرفته و بوسیله گدازه‌های بالشی و جریان‌های باالتی و همچنین سنگ آهک (واحد بیستون) پوشیده شده‌اند (شکل ۲، ۱۲). در این

چون قطعات سنگی جدا شده و تکه تکه افیولیتی، گابروها و پریدوتیت‌های سرپانتینی که به صورت موضعی توسط دایک‌های دلبریتی مورد هجوم قرار گرفته‌اند و به ویژه روابط زمین-ساختی کامل بین انواع مختلف سنگ‌ها در افیولیت کرمانشاه همگی اشاره به این دارند که این مجموعه یک آمیزه افیولیتی زمین‌ساختی است. بنابراین، افیولیت کرمانشاه از نظر ساختاری بیشتر به یک مجموعه افیولیتی تشکیل شده در منشورهای فرازایشی [۷] شبیه است تا یک سفره زمین‌ساختی ساده فرارانده شده مانند عمان.

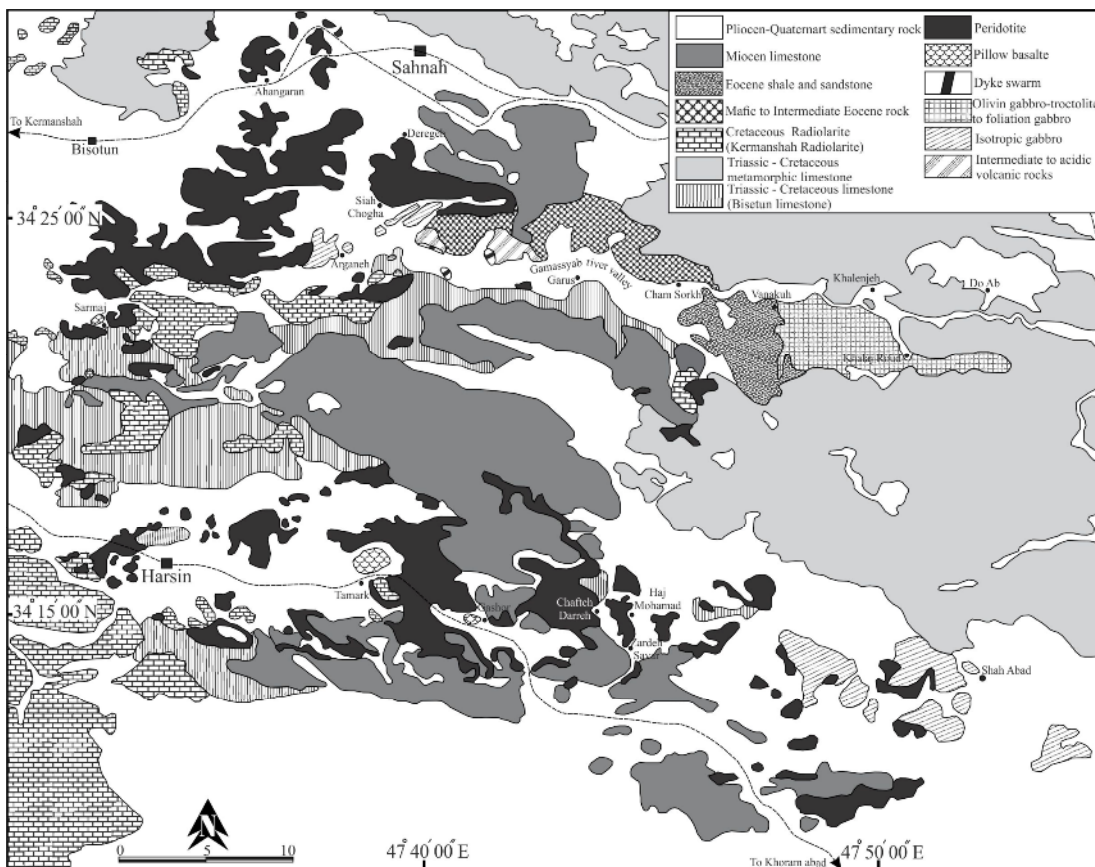
تاکنون بیشتر بررسی‌های انجام شده پیرامون افیولیت‌های کرمانشاه پیش از این در مناطق بین هرسین و صحنه متمرکز بوده‌اند [۳، ۴، ۸]. از آنجا که با مطالعه‌ی پریدوتیت‌های گوشته‌ای افیولیت‌ها می‌توان اطلاعات مهمی در مورد فرآیندهای ذوب، تولید گدازه و حرکت سیال در گوه گوشته‌ای بخش‌های بالایی منطقه فروزانش بدست آورد، لذا در این مقاله سعی شده است که علاوه بر شواهد و آثار بافتی و شیمی کانی موجود در فرامافیک‌های هرسین و صحنه، از داده‌های مربوط به پریدوتیت‌های محور هرسین - نورآباد و میانراهان که تاکنون مورد توجه قرار نگرفته‌اند، برای بررسی فرآیندهای سنگ‌زایی،

محدود است (شکل ۳). گدازه‌های بالشی موجود در منطقه بوسیله توده‌های نفوذی بزرگ گابرویی، دیوریتی، بازالت‌های پالئوسن-ائوسن و رسوبات از هم مجزا شده‌اند. این رسوبات متشکل از مارن و سنگ آهک‌های سیلیسی هستند که از نظر فسیل شناسی سن پالئوسن-ائوسن دارند [۱۴].

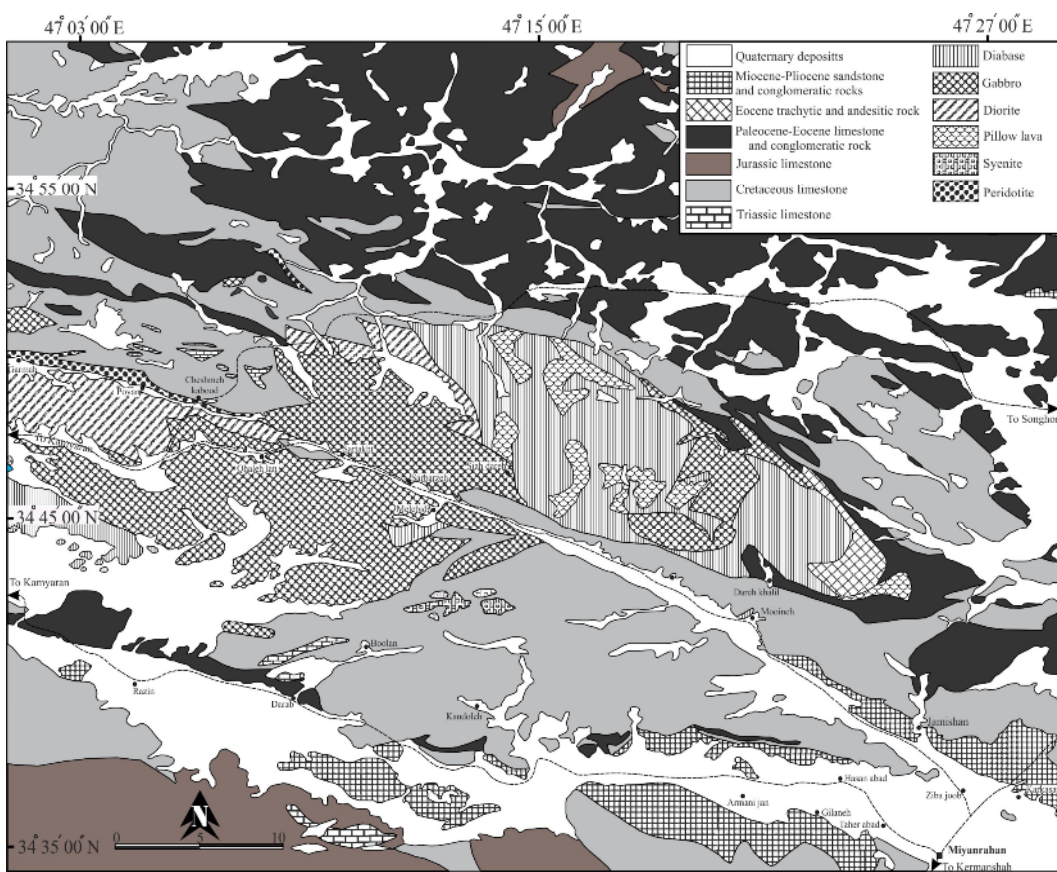
بیشترین فراوانی در سنگ‌های رسوبی موجود در مناطق هرسین، صحنه و میانراهن مربوط به رادیولاریت‌های دگرشکل شده، واحد بیستون و سازند قم است. رادیولاریت‌های به شدت تغییرشکل یافته بیشتر در منطقه هرسین- صحنه دیده می‌شوند (شکل ۲). در این مناطق واحد بیستون متشکل از ضخامت زیادی از کربنات کم عمق بوده و از نظر سنی دامنه‌ای از تریاس پسین تا کرتاسه پیشین-پسین را شامل می‌شود [۱۵]. سازند قم نیز که در گستره‌های مورد بررسی متشکل از کربنات‌های سکوی دریابی کم عمق با کنکلوماری قاعده‌ای است، سن الیگومن تا اوایل میوسن دارد. این سازند بصورت ناپیوسته روی کل افولولیت‌های کرمانشاه قرار گرفته است [۲].

منطقه، دنباله گابرویی به دو صورت گابروهای پگماتوئیدی و گابروهایی با بافت برگوارگی دیده می‌شوند، که به ترتیب در شمال غرب و جنوب شرق منطقه رخنمون دارند. در هر دو نوع گابرو، تروکتولیت‌ها به صورت اجزائی کوچک قابل مشاهده هستند. همتافت دایکی در چند رخنمون کوچک در امتداد رودخانه گاما سیاب دیده می‌شود. سنگ‌های آتششانی بیشتر متشکل از گدازه‌های بالشی با بافت حفره‌دار و جریان‌های بازالتی هستند که در منطقه هرسین و در اطراف روستاهای گشور، تمرک و سرماج دیده می‌شوند.

مجموعه میانراهن با مختصات شمالی و^۰۰۰^۰ ۴۷^۰ تا^۰۴۷^۰ ۲۵^۰ طول شرقی (شکل ۳، [۱۳]) شامل چندین ورقه رانده شده متشکل از پریدوتیت‌های سرپانتینی، گابرو، جریان‌های بازالتی و رسوبات فلیشی است. سنگ‌های فرامافیک که در بخش‌های غربی منطقه رخنمون دارند در برخی قسمت‌ها سرپانتینی شده‌اند. وسعت این سنگ‌ها در ورقه میانراهن به مراتب بسیار کمتر از ورقه هرسین- صحنه بوده و به اطراف روستاهای چشمکه کبود و کره پویان



شکل ۲ نقشه زمین‌شناسی ساده مناطق صحنه، هرسین- نورآباد، برگرفته از مرجع [۱۲] با اندکی تغییرات.



شکل ۳ نقشه زمین‌شناسی ساده شده منطقه میانراهن، برگرفته از مرجع [۱۳] با اندکی تغییرات.

شیمی سنگ کل فرامافیک‌های منطقه‌های صحنه، هرسین-نورآباد و میانراهن نیز ارائه نشده است.

سنگ‌نگاری

در منطقه‌های صحنه، هرسین-نورآباد و میانراهن، پریدوتیت‌ها بیشتر مشکل از هارزبورزیت‌های گوشته‌ای هستند. دونیت‌ها و لرزولیت‌ها در افیولیت‌های کرمانشاه فراوانی کمی دارند و عموماً بصورت اجزاء پراکنده در هارزبورزیت‌ها قرار گرفته‌اند. بررسی‌ها و مشاهدات صحرایی صورت گرفته در این پژوهش مشخص نمود که در جنوب صحنه، در مرز گابروهای پگماتوئیدی با پریدوتیت‌ها، دایک‌هایی با ترکیب ورلیتی وجود دارند که در اولترامافیک‌های این منطقه (هارزبورزیت‌ها) تزریق شده‌اند و برای نخستین بار در این پژوهش معرفی می‌شوند.

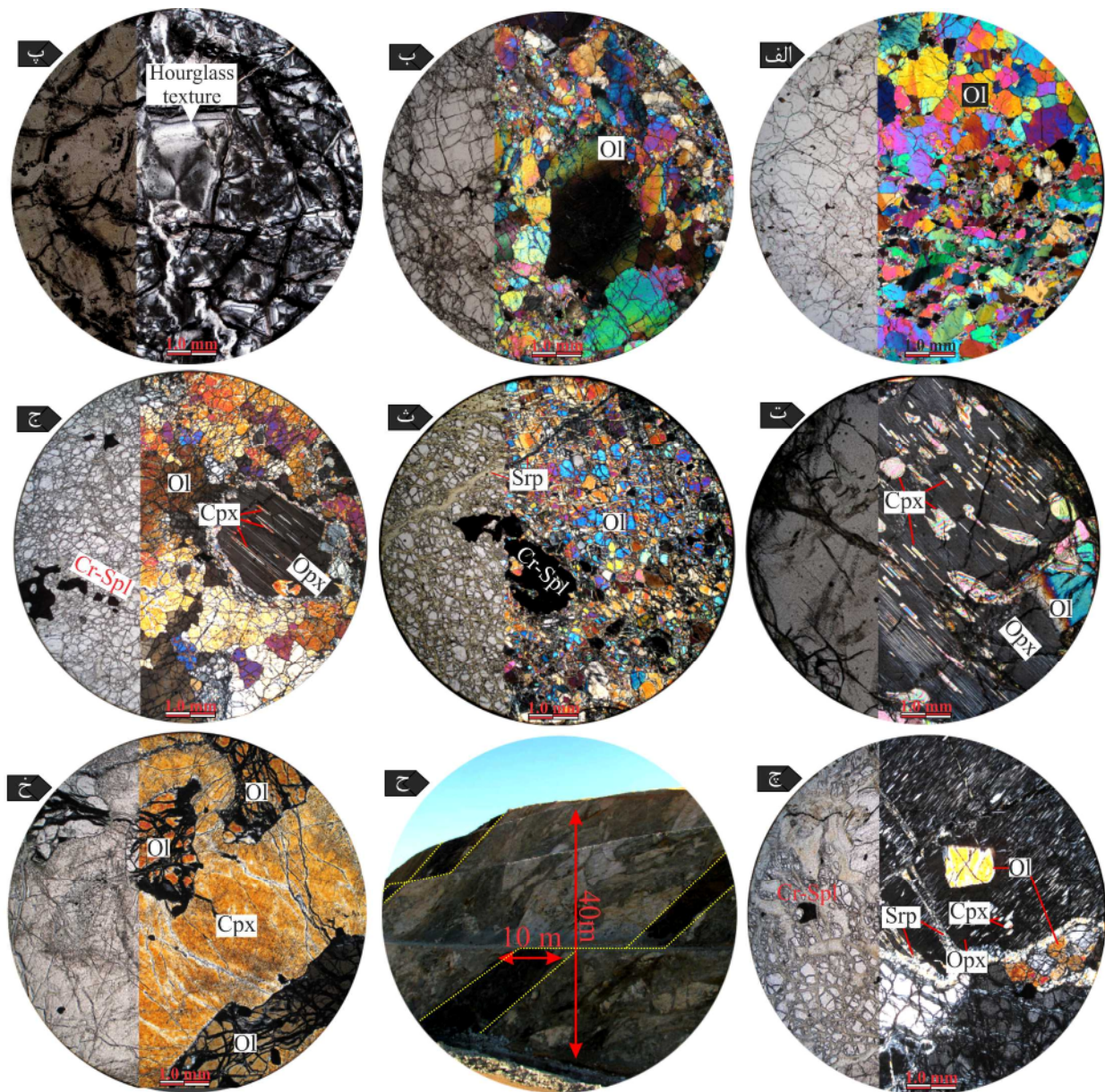
دونیت: دونیت‌ها در اصل مشکل از بیش از ۹۰٪ الیوین و یا سرپانتین با اندکی ارتوپیروکسن و مقادیر پراکنده‌ای از کروم اسپینل هستند. این سنگ‌ها دارای بافت دانه‌ای هستند، بین دانه‌ها نقاط تقاطع سه گانه دیده می‌شود (شکل ۴ الف) و به

روش بررسی

به منظور بررسی پریدوتیت‌های گوشته‌ای در منطقه‌های صحنه، هرسین-نورآباد و میانراهن و تجزیه شیمی کانی‌ها تعداد ۱۰ مقاطع نازک صیقلی تهیه شد و کانی‌های موجود در آن‌ها شامل ارتوپیروکسن، کلینوپیروکسن، الیوین و کروم اسپینل با استفاده از دستگاه تجزیه ریزپردازش الکترونی Cameca SX-100 در مرکز تحقیقات و فرآوری مواد معدنی ایران با ولتاژ شتاب دهنده ۱۵kV و شدت جریان ۲۰nA بررسی شد. تفسیر و پردازش داده‌ها به کمک نرم افزارهای Minpet و Excel GCDKit v. 4.1 صورت گرفت. پژوهش حاضر بر پایه مشاهدات و داده‌های سنگ‌شناسی و شیمی‌کانی است، اما از طرفی ارائه هم نتایج تجزیه شیمی سنگ کل (تعداد ۳۰ نمونه به روش ICP-MS در آزمایشگاه Act Lab کانادا) و نمودارهای مربوطه، به همراه داده‌های شیمی‌کانی آنها در این مقاله مقدور نبوده است، لذا در اینجا علاوه بر تعديل تعداد تجزیه‌های نقطه‌ای کانی‌ها، نتایج و نمودارهای مربوطه به

این سنگ‌ها را به گوشه‌های بالایی نشان می‌دهد. این سنگ‌ها در درجات متغیر، سرپانتینی شده‌اند و در برخی مقاطع کروم اسپینل‌ها بصورت بلورهای بی‌شکل تا نیمه‌شکل دار در کنار الیوین‌ها دیده می‌شوند.

صورت موضعی دچار بازتابلور شده‌اند که نشان از تعادل دوباره در شرایط دما و فشار پوسته‌ای دارند. بلورهای الیوین دانه‌درشت دارای شکستگی هستند و خاموشی موجی و شکنج دارند (شکل ۴ ب) که عملکرد دگرشکلی دمای بالا و وابستگی



شکل ۴ **الف:** بلورهای بی‌شکل الیوین با بافت پروتوگرانولار و تقاطع سه گانه در سنگ‌های دونیتی. **ب:** خاموشی موجی و شکنج در بلورهای الیوین نمونه‌های دونیتی. **پ:** بافت‌های مش و ساعت شنی در هارزبورزیت‌های سرپانتینی شده. **ت:** تیغه‌های جدایشی کلینوپیروکسن در بلورهای دانه درشت ارتوپیروکسن نمونه‌های هارزبورزیتی. **ث:** بلورهای بی‌شکل دار کروم اسپینل. **ج:** آرایش زنجیری بلورهای کروم اسپینل در سنگ‌های هارزبورزیتی. **چ:** تیغه‌های جدایشی کلینوپیروکسن در ارتوپیروکسن و ادخال‌های الیوین شکل دار در بلورهای ارتوپیروکسن. **ح:** دایک‌های ورلیتی در مرز دنباله گابرویی و پریدوتیتی در جنوب شهرستان صحنه (دره گاماسیاب). **خ:** بلورهای الیوین با حاشیه خلیجی شکل و نامنظم در کنار بلورهای کلینوپیروکسن در نمونه‌های ورلیتی (همه تصاویر به جز تصویر ح در نور عادی و قطبشی تهیه شده‌اند)، علائم اختصاری کانی‌ها برگرفته از مرجع [۱۶].

صورت نیمه‌شکل‌دار و با کاهش نسبی Ca و افزایش Mg و Fe در گذاره باقی مانده، بلورهای الیوین ایترکومولوس دچار بازتبلور شده‌اند (شکل ۴ ج).

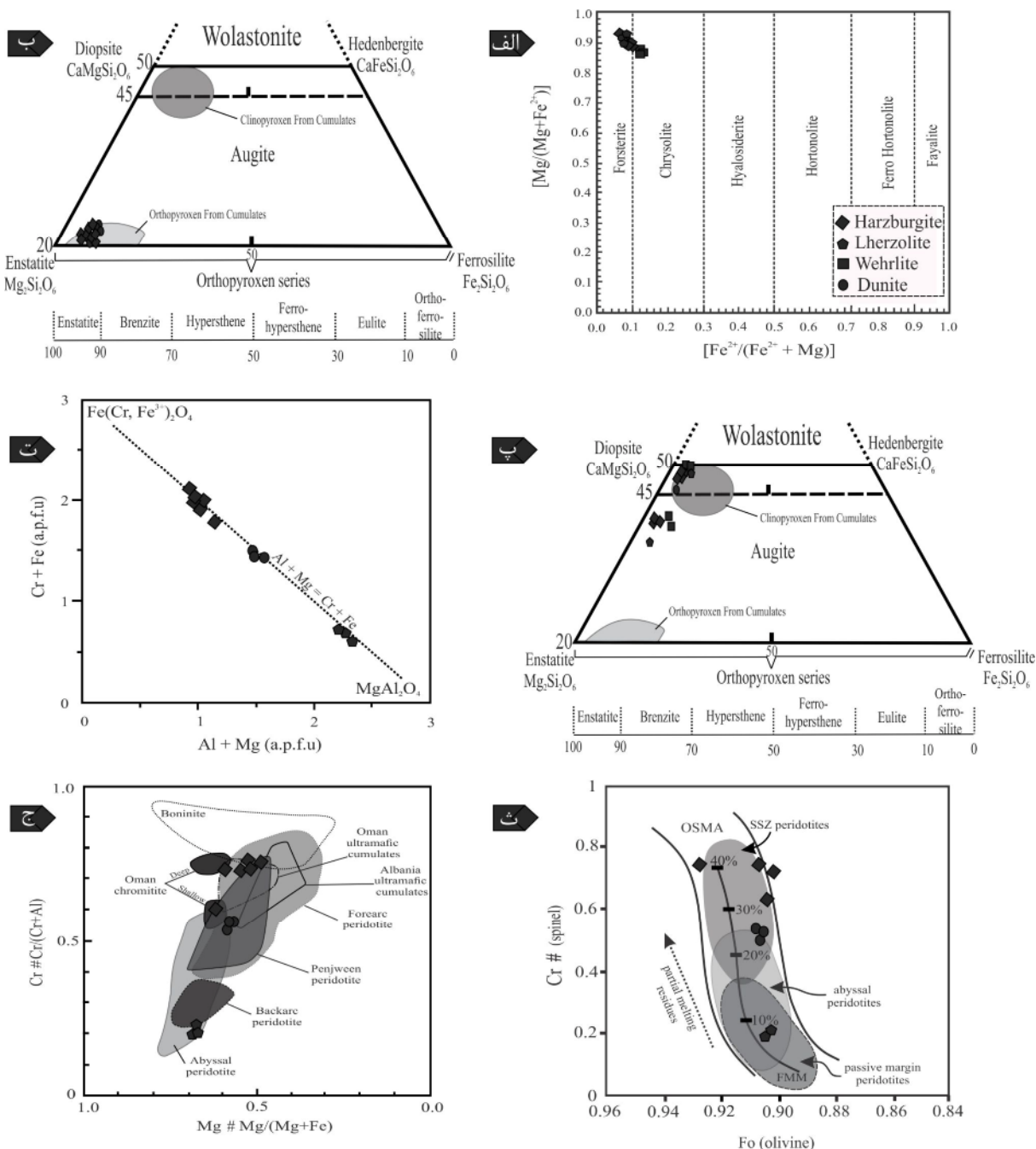
ورلیت: بررسی‌های صحرایی و آزمایشگاهی انجام شده در این پژوهش در منطقه صحنه (دره گاما‌سیاب) برای نخستین بار نشان داد که دایک‌هایی با ترکیب ورلیتی به طور مشخص در مرز گابروهای نفوذی و پریدوتیت‌های گوشه‌ای وجود دارد. در رخنمون صحرایی، این دایک‌ها دارای رنگ سیاه و پهناوری معادل ۸ تا ۱۰ متر هستند (شکل ۴ ح). دایک‌ها از نظر میکروسکوپیکی به طور کامل از الیوین‌های سالم تا کاملاً سرپانتینی شده (۲۰٪ تا ۳۰٪) و کلینوپیروکسن (۷۰٪ تا ۸۰٪) تشکیل شده‌اند. بافت‌های موجود در این سنگ‌ها از نوع ریزدانه‌ای، غربالی و مشبك است. کانی‌ها متوسط تا دانه درشت‌هستند و اندازه آنها تا ۰/۵ سانتی‌متر هم می‌رسد. در این سنگ‌ها سرپانتین که از تجزیه بخشی الیوین‌ها به وجود آمده است بافتی مشبك به آنها داده است. الیوین‌ها حاشیه‌های منحنی، خلیجی شکل و نامنظم دارند، که به هضم آنها اشاره دارد (شکل ۴ خ).

شیمی کانی الیوین

ترکیب الیوین در پریدوتیت‌های گوشه‌ای در جدول ۱ ارائه شده است. مقدار $[Fo = Mg/(Mg + Fe_{total})]$ میانگین در دونیت ۹۰/۴۰، در هارزبورژیت ۹۰/۱۸، در لرزولیت ۹۰/۲۹ و در ورلیت ۸۷/۳۵ است، که نشان می‌دهد که الیوین در دونیت دارای منیزیم بیشتر و به سمت ورلیت دارای مقدار منیزیم کمتری است. در نمونه‌های فرامافیک جز ورلیت‌ها، ترکیب شیمیایی الیوین‌ها تفاوت قابل توجهی ندارد به طوری که رسم نتایج در نمودار $Mg\# = Mg/(Mg + Fe^{2+})$ نسبت به $Fe\# = Fe/(Fe^{2+} + Mg)$ [۱۷] نشان می‌دهد که ترکیب فورستریتی الیوین‌های موجود در دونیت، هارزبورژیت و لرزولیت فورستریتی و ترکیب الیوین‌های موجود در ورلیت‌ها کریزوکلیتی است (شکل ۵ الف). مقدار NiO از ۰/۰۲ تا ۰/۳۹، MgO از ۰/۰۲ تا ۰/۰۰ و TiO₂ از ۴۶/۴۵ تا ۵۰/۶۷ درصد وزنی متغیر است (جدول ۱).

هارزبورژیت: هارزبورژیت‌ها با بافت دانه‌ای، متشکل از الیوین (۶۵٪ تا ۸۰٪)، ارتوبیروکسن (۱۵٪ تا ۳۰٪) و ۵٪ کلینوپیروکسن و کانی‌های فرعی شامل کروم اسپینل و همچنین کانی‌های ثانویه چون سرپانتین و مگنتیت هستند. در برخی نمونه‌ها سرپانتین بصورت رگه‌های نازک، الیوین و ارتوبیروکسن را قطع کرده‌اند. در نمونه‌های کاملاً سرپانتینی شده بافت‌های غربالی و ساعت شنی بوضوح دیده می‌شوند (شکل ۴ پ). پورفیروکلاست‌های ارتوبیروکسن بیشتر در اثر شکستگی‌های نامنظم دچار خرد شدگی شده‌اند و برخی دارای ماکلهای ساده هستند. در حالی که برخی دیگر از پورفیروکلاست‌ها دارای اجزاء گرد و پراکندهای از الیوین و تیغه‌های جدایشی کلینوپیروکسن در ارتوبیروکسن هستند (شکل ۴ ت) که نشان از تعادل دوباره این سنگ‌ها در شرایط دما و فشار پوسته‌ای دارد. کروم اسپینل بصورت بی‌شکل تا نیمه‌شکل دار دیده می‌شود که با توجه به این شکل‌ها به نظر می‌رسد که آنها کانی‌های باقی مانده پس از ذوب‌بخشی هستند (شکل ۴ ث). در برخی مقاطع کروم اسپینل‌ها زنجیروار و به صورت بلورهایی بصورت بی‌شکل تا نیمه‌شکل دار اغلب در الیوین‌ها قابل مشاهده‌اند (شکل ۴ ج).

لرزولیت: لرزولیت‌ها معمولاً بصورت اجزائی کوچک و پراکنده بین توده‌های هارزبورژیتی یافت می‌شوند. این سنگ‌ها متشکل از الیوین (۵۵٪ تا ۷۵٪) ارتوبیروکسن (۲۲٪ تا ۳۴٪) و کلینوپیروکسن (۵٪ تا ۱۰٪) و کمتر از ۵٪ کروم اسپینل هستند. الیوین و ارتوبیروکسن بطور معمول خاموشی‌های موجی و شکنج نشان می‌دهند. کلینوپیروکسن‌های دارای شکنج و با تیغه‌های جدایشی خمیده در ارتوبیروکسن‌های درشت دانه قابل مشاهده‌اند. در برخی مقاطع، دانه‌های الیوین بصورت پورفیروکلاست‌های تغییر شکل یافته و یا به شکل ادخال‌هایی در بلورهای ارتوبیروکسن دیده می‌شوند که می‌تواند نشان از تقدم تبلور این الیوین‌ها نسبت به پیروکسن‌های میزبان آنها داشته باشد (شکل ۴ ج). به نظر می‌رسد که با تبلور الیوین‌هایی که بصورت ادخال در پیروکسن دیده می‌شوند، شرایط کاهش Mg مانگما فراهم شده و فرصت برای تبلور پیروکسن مهیا شده است. در نهایت پس از تبلور پیروکسن‌ها به



شکل ۵ **الف:** موقعیت ترکیبی الیوین پریدوتیت‌های مجموعه افیولیتی کرمانشاه در نمودار $\text{Mg} \# \text{Fe} \#$ [۱۷]. **ب:** گستره ترکیبی ارتپیروکسن‌های موجود در پریدوتیت‌های مجموعه افیولیتی کرمانشاه در نمودار اعضای انتهایی Wo ، En ، Fs ، Fs ، En ، Wo ، Fs ، En ، Wo [۱۸]. **پ:** گستره ترکیبی کلینوپیروکسن‌های موجود در پریدوتیت‌های مجموعه افیولیتی کرمانشاه در نمودار اعضای انتهایی Fs ، En ، Wo [۱۸]. **ت:** نمودار $\text{Cr}+\text{Fe}$ نسبت به $\text{Al}+\text{Mg}$ کروم اسپینل پریدوتیت‌های گوشته‌ای کرمانشاه. **ث:** نمودار $\text{Cr} \# \text{Mg} \# \text{Mg}/(\text{Mg}+\text{Fe})$ نسبت به $\text{Mg} \# \text{Cr}/(\text{Cr}+\text{Al})$ کروم اسپینل های مجموعه افیولیتی کرمانشاه. **ش:** نمودار $\text{Cr} \# (\text{spinel})$ نسبت به $\text{Fo} (\text{olivine})$ کروم اسپینل های افیولیتی کرمانشاه (FMM=FMM=Gوشته MORB=یازالت پشت‌های میان اقیانوسی) حاصلخیز OSMA از مرجع [۱۹]. **ج:** نمودار $\text{Cr} \# (\text{spinel})$ نسبت به $\text{Mg} \# \text{Mg}/(\text{Mg}+\text{Fe})$ کروم اسپینل های مجموعه افیولیتی کرمانشاه. (در نمودارها میدان پریدوتیت‌ها آبی‌سال و SSZ از مرجع [۲۰]، بونیت از مرجع [۲۱]، پریدوتیت جلوی قوس از مرجع [۲۲]، کوموله‌های عمان از مرجع [۲۳]، کرومیت‌های عمان از مرجع [۲۴]، پریدوتیت‌های پنجوین از مرجع [۶] برای مقایسه آورده شده‌اند).

جدول ۱ نتایج تجزیه ریزپردازش الکترونی کانی الیوین (Ol) در پریدوتیت‌های گوشه‌ای مجموعه افیولیتی کرمانشاه.

سنگ	Hz	Lz	Lz	Du	Du	Du	Hz	Hz	Hz	Wh	Wh	Wh
نمونه	۲۳PR-	۱۳HZ-	۱۳HZ-	۲۸PR-	۲۸PR-	۲۸PR-	۱۰PR-	۱۰PR-	۱۰PR-	۱-۷PR	۱-۷PR	۱-۷PR
SiO ₂	۴۱,۳۲	۴۰,۶۳	۴۰,۵۰	۴۱,۰۶	۴۰,۵۳	۴۰,۳۹	۴۱,۹۴	۴۰,۵۸	۴۱,۵۵	۴۱,۰۲	۴۰,۶۸	۴۰,۷۴
TiO ₂	۰,۰۰	۰,۰۰	۰,۰۰	۰,۰۰	۰,۰۰	۰,۰۰	۰,۰۰	۰,۰۱	۰,۰۱	۰,۰۲	۰,۰۰	۰,۰۰
Al ₂ O ₃	۰,۴۱	۰,۰۲	۰,۰۰	۰,۰۰	۰,۰۰	۰,۰۰	۰,۰۰	۰,۰۰	۰,۰۰	۰,۰۰	۰,۰۰	۰,۰۰
Cr ₂ O ₃	۰,۰۳	۰,۰۰	۰,۰۱	۰,۰۱	۰,۰۰	۰,۰۰	۰,۰۰	۰,۰۴	۰,۰۱	۰,۰۱	۰,۰۰	۰,۰۰
FeO*	۶,۵۴	۹,۴۶	۹,۴۰	۹,۲۴	۹,۲۵	۹,۱۳	۱۰,۲۰	۹,۹۵	۹,۸۵	۱۱,۴۹	۱۲,۱۹	۱۱,۷۲
MnO	۰,۰۹	۰,۱۶	۰,۱۵	۰,۱۴	۰,۱۳	۰,۱۳	۰,۱۲	۰,۱۱	۰,۱۴	۰,۲۹	۰,۲۴	۰,۲۴
MgO	۵۰,۶۷	۵۰,۱۹	۵۰,۴۲	۵۰,۰۰	۵۰,۴۵	۵۰,۳۱	۴۶,۴۵	۴۷,۳۰	۴۷,۵۴	۴۷,۰۶	۴۶,۸۱	۴۷,۲۲
CaO	۰,۰۴	۰,۰۵	۰,۰۳	۰,۰۶	۰,۰۹	۰,۰۷	۰,۰۲	۰,۰۲	۰,۰۲	۰,۰۵	۰,۰۳	۰,۰۹
K ₂ O	۰,۰۲	۰,۰۳	۰,۰۱	۰,۰۱	۰,۰۱	۰,۰۲	۰,۰۰	۰,۰۱	۰,۰۰	۰,۰۰	۰,۰۰	۰,۰۱
P ₂ O ₅	۰,۰۰	۰,۰۰	۰,۰۲	۰,۰۲	۰,۰۲	۰,۰۴	۰,۰۰	۰,۰۱	۰,۰۵	۰,۰۲	۰,۰۰	۰,۰۱
NiO	۰,۰۲	۰,۲۷	۰,۲۵	۰,۲۷	۰,۲۷	۰,۲۴	۰,۳۷	۰,۳۳	۰,۳۹	۰,۲۲	۰,۱۸	۰,۲۴
کل	۹۹,۱۴	۱۰۰,۸۱	۱۰۰,۷۹	۱۰۰,۸۱	۱۰۰,۷۵	۱۰۰,۳۳	۹۹,۱۰	۹۸,۳۲	۹۹,۵۹	۱۰۰,۱۸	۱۰۰,۱۴	۱۰۰,۲۷
فرمول ساختاری بر پایه ۴ اکسیژن												
<i>a.p.f.u</i>												
Si	۱,۰۰۸	۰,۹۸۴	۰,۹۸۱	۰,۹۹۶	۰,۹۸۱	۰,۹۸۲	۱,۰۵	۱,۰۱	۱,۰۳	۱,۰۱۶	۱,۰۰۹	۱,۰۰۸
Ti	۰,۰۰	۰,۰۰	۰,۰۰	۰,۰۰	۰,۰۰	۰,۰۰	۰,۰۰	۰,۰۰	۰,۰۰	۰,۰۰	۰,۰۰	۰,۰۰
Al	۰,۰۱۲	۰,۰۰۱	۰,۰۰	۰,۰۰	۰,۰۰	۰,۰۰	۰,۰۰	۰,۰۰	۰,۰۰	۰,۰۰	۰,۰۰	۰,۰۰
Cr	۰,۰۰۱	۰,۰۰	۰,۰۰	۰,۰۰	۰,۰۰	۰,۰۰	۰,۰۰	۰,۰۰	۰,۰۰	۰,۰۰	۰,۰۰	۰,۰۰
Fe ³⁺	۰,۰۰	۰,۰۲۷	۰,۰۳۴	۰,۰۰۵	۰,۰۳۴	۰,۰۳۳	۰,۰۰	۰,۰۰	۰,۰۰	۰,۰۰	۰,۰۰	۰,۰۰
Fe ²⁺	۰,۱۳۳	۰,۱۶۴	۰,۱۵۴	۰,۱۸	۰,۱۵۳	۰,۱۵۱	۰,۲۱۴	۰,۲۰۹	۰,۲۰۵	۰,۲۳۸	۰,۲۵۳	۰,۲۴۳
Mn	۰,۰۰۲	۰,۰۰۳	۰,۰۰۳	۰,۰۰۳	۰,۰۰۳	۰,۰۰۳	۰,۰۰۲	۰,۰۰۳	۰,۰۰۶	۰,۰۰۵	۰,۰۰۵	۰,۰۰۵
Mg	۱,۸۴۳	۱,۸۱۵	۱,۸۲۲	۱,۸۰۹	۱,۸۲۲	۱,۸۲۴	۱,۷۳۳	۱,۷۷	۱,۷۵۹	۱,۷۳۸	۱,۷۳۲	۱,۷۴۲
Ca	۰,۰۰۱	۰,۰۰۱	۰,۰۰۱	۰,۰۰۲	۰,۰۰۲	۰,۰۰۲	۰,۰۰۱	۰,۰۰۱	۰,۰۰۱	۰,۰۰۱	۰,۰۰۱	۰,۰۰۲
Ni	۰,۰۰	۰,۰۰۵	۰,۰۰۵	۰,۰۰۵	۰,۰۰۵	۰,۰۰۵	۰,۰۰۶	۰,۰۰۵	۰,۰۰۵	۰,۰۰۴	۰,۰۰۵	۰,۰۰۴
Fo%	۹۳,۱۱	۹۰,۲۳	۹۰,۳۶	۹۰,۴۱	۹۰,۴۵	۹۰,۵۶	۸۸,۸۹	۸۹,۳۲	۸۹,۴۳	۸۷,۶۲	۸۷	۸۷,۴۵
Fa%	۶,۷۴	۹,۵۴	۹,۴۵	۹,۳۷	۹,۳	۹,۲۲	۱۰,۹۵	۱۰,۵۴	۱۰,۳۹	۱۲	۱۲,۷۱	۱۲,۱۸
Ca-Ol	۰,۰۵	۰,۰۶	۰,۰۴	۰,۰۸	۰,۱۲	۰,۰۹	۰,۰۳	۰,۰۳	۰,۰۳	۰,۰۷	۰,۰۴	۰,۱۲
Mg#	۰,۹۲	۰,۹۲	۰,۹۲	۰,۹۱	۰,۹۲	۰,۹۲	۰,۸۹	۰,۸۹	۰,۹۰	۰,۸۸	۰,۸۷	۰,۸۸
Fe#	۰,۰۷	۰,۰۸	۰,۰۸	۰,۰۹	۰,۰۸	۰,۰۸	۰,۱۱	۰,۱۱	۰,۱۰	۰,۱۲	۰,۱۳	۰,۱۲

=هارزبورزیت، Du = دونیت، Lz = لرزولیت، Wh = لرزولیت، Fo = فورسترتیت، Fa = فایالیت، (Mg # = Mg/(Mg+Fe²⁺) ، Fe=Fe/(Fe²⁺+Mg) ، Fe³⁺ = Fe³⁺/Fe²⁺) بر اساس مرجع [۲۵].

توزیع Fe و Mg بین دو فاز الیوین و ارتوبیروکسن عامل مؤثری در ایجاد تعادل شیمیایی است. ارتوبیروکسن‌ها از نظر مقدار TiO₂ تقریباً یکسان هستند (میانگین ۰,۰۱ wt%). نتایج تجزیه این کانی در نمودار Wo، En و Fs [۱۸] نشان از ترکیب انسنتاتیتی آنها و قرارگیری در میدان ارتوبیروکسن‌های انباشتی دارد (شکل ۵ ب).

ارتوبیروکسن
بر اساس نتایج تجزیه نقطه‌ای ارتوبیروکسن‌ها که در جدول ۲ ارائه شده است، این کانی از نظر ترکیب اعضاء انتهایی، دارای Gs_۳ ۹,۶۸-۱۵,۶۷، En ۸۶,۵۶-۹۲,۳۴ و Wo ۰,۰۱-۰,۰۵ میانگین مقدار [Mg#]=Mg/(Mg+Fe²⁺) است. میانگین مقدار Mg# باقی باقی میانگین مقدار Fe# (۰,۹۰۲) بیشتر است. این موضوع نشان می‌دهد که باقی میانگین ۰,۹۴۷ بوده که نسبت به مقادیر موجود در الیوین‌ها (با میانگین ۰,۹۰۲) بیشتر است.

جدول ۲ نتایج تجزیه ریزپردازش الکترونی کانی ارتوپیروکسن (Opx) در پریدوتیت‌های گوشه‌ای مجموعه افیولیتی کرمانشاه.

سنگ	Hz	Hz	Hz	Hz	Hz	Hz	Hz	Hz	Du	Du	Du	Du
نمونه	۲۳PR-	۲۴PR-	۲۳PR-	۲۴PR-	۱۰PR-	۱۰PR-	۱۰PR-	۱۰PR-	۲۸PR-	۲۸PR-	۲۸PR-	۲۸PR-
SiO ₂	۵۴,۶۵	۵۵,۴۹	۵۴,۸۹	۵۴,۸۱	۴۸,۲۷	۴۷,۱۰	۴۶,۰۴	۴۲,۴۸	۵۵,۶۹	۵۶,۰۱	۵۶,۰۱	۵۷,۰۲
TiO ₂	-۰,۱	-۰,۱	-۰,۱	-۰,۱	-۰,۲	-۰,۲	-۰,۰	-۰,۱	-۰,۰	-۰,۰	-۰,۰	-۰,۰
Al ₂ O ₃	۲,۶۲	۲,۶۹	۳,۱۹	۲,۷۶	۱,۶۷	۱,۶۶	۱,۷۲	۲,۱۰	۲,۱۰	۲,۳۳	۲,۸۰	۲,۰۲
Cr ₂ O ₃	-۰,۶۲	-۰,۸۴	-۰,۸۲	-۰,۷۲	-۰,۶۹	-۰,۷۱	-۰,۷۴	۱,۳۲	-۰,۸۷	-۰,۸۹	-۰,۸۶	-۰,۶۸
FeO*	۳,۸۱	۵,۵۲	۵,۶۱	۵,۶۷	۳,۹۱	۵,۸۷	۶,۲۳	۸,۶۵	۵,۸۶	۵,۱۲	۵,۷۶	۵,۵۰
MnO	-۰,۸	-۰,۱۳	-۰,۱۳	-۰,۱۵	-۰,۱۲	-۰,۱۴	-۰,۱۰	-۰,۱۱	-۰,۱۳	-۰,۱۳	-۰,۱۴	-۰,۱۳
MgO	۳۴,۰۶	۳۳,۲۲	۳۳,۵۴	۳۴,۱۰	۴۲,۸۱	۴۲,۶۵	۴۳,۸۳	۴۵,۲۵	۳۲,۹۵	۳۳,۲۲	۳۳,۲۹	۳۲,۴۳
CaO	۲,۶۷	۲,۷۳	۲,۵۵	۲,۰۶	۱,۱۹	۱,۷۸	۱,۷۸	-۰,۱	۲,۵۴	۳,۰۲	۲,۴۳	۱,۸۱
Na ₂ O	-۰,۰	-۰,۵	-۰,۱	-۰,۰	-۰,۰	-۰,۰	-۰,۰	-۰,۱	-۰,۰	-۰,۰	-۰,۰	-۰,۰
K ₂ O	-۰,۰	-۰,۲	-۰,۰۲	-۰,۰۱	-۰,۰	-۰,۰	-۰,۰	-۰,۰	-۰,۰۳	-۰,۰	-۰,۰۲	-۰,۰۲
NiO	-۰,۴	-۰,۱۵	-۰,۱۰	-۰,۰۳	-۰,۰۴	-۰,۰۸	-۰,۰۳	-۰,۰	-۰,۱۰	-۰,۰۷	-۰,۱۰	-۰,۰۸
P ₂ O ₅	-۰,۰	-۰,۴	-۰,۰	-۰,۰	-۰,۰	-۰,۰	-۰,۰	-۰,۶	-۰,۰۱	-۰,۰	-۰,۰	-۰,۰۲
کل	۹۸,۵۶	۱۰۰,۹۰	۱۰۰,۸۷	۱۰۰,۳۲	۹۹,۳۸	۹۹,۹۳	۱۰۰,۴۴	۹۹,۹۴	۱۰۰,۲۸	۱۰۰,۸۲	۱۰۰,۸۱	۱۰۰,۷۱
فرمول ساختاری بر پایه آکسیژن												
	<i>a.p.f.u</i>											
Si	۱,۸۹۹	۱,۹۰۳	۱,۸۷۸	۱,۸۸	۱,۶۰۹	۱,۵۶۸	۱,۵۲	۱,۴۰۷	۱,۹۴۵	۱,۹۲	۱,۹۴۳	۱,۹۵۹
Ti	-۰,۰	-۰,۰	-۰,۰	-۰,۰	-۰,۰۱	-۰,۰۱	-۰,۰	-۰,۰	-۰,۰	-۰,۰	-۰,۰	-۰,۰
Al	-۰,۱۷	-۰,۱۰۹	-۰,۱۲۹	-۰,۱۱۲	-۰,۰۶۶	-۰,۰۶۵	-۰,۰۶۷	-۰,۰۸۲	-۰,۰۸۶	-۰,۰۹۵	-۰,۰۸۹	-۰,۰۸۲
Cr	-۰,۰۱۷	-۰,۰۲۳	-۰,۰۲۲	-۰,۰۲	-۰,۰۱۸	-۰,۰۱۹	-۰,۰۱۹	-۰,۰۳۵	-۰,۰۲۴	-۰,۰۲۳	-۰,۰۱۸	-۰,۰۱۸
Fe ³⁺	-۰,۰۷۸	-۰,۰۶۵	-۰,۰۹۲	-۰,۱۰۶	-۰,۰۴۶	-۰,۰۴۶	-۰,۰۴۸	-۰,۰۴۸	-۰,۰۴	-۰,۰۴۲	-۰,۰۴	-۰,۰
Fe ²⁺	-۰,۰۳۳	-۰,۰۹۴	-۰,۰۸۹	-۰,۰۵۷	-۰,۰۶۳	-۰,۱۱۸	-۰,۱۲۴	-۰,۱۹۲	-۰,۱۲۹	-۰,۱۰۵	-۰,۱۲۶	-۰,۱۵۸
Mn	-۰,۰۲	-۰,۰۰۴	-۰,۰۰۴	-۰,۰۰۴	-۰,۰۰۳	-۰,۰۰۴	-۰,۰۰۳	-۰,۰۰۳	-۰,۰۰۴	-۰,۰۰۴	-۰,۰۰۴	-۰,۰۰۴
Mg	۱,۷۶۵	۱,۶۹۸	۱,۷۱	۱,۷۴۵	۲,۱۲۶	۲,۱۱۵	۲,۱۵۶	۲,۲۳۳	۱,۶۹۷	۱,۶۹۸	۱,۷۰۵	۱,۷۱۱
Ca	-۰,۰۹۹	-۰,۱	-۰,۰۹۴	-۰,۰۷۶	-۰,۰۶۸	-۰,۰۶۴	-۰,۰۶۳	-۰,۰	-۰,۰۹۴	-۰,۱۱۱	-۰,۰۸۹	-۰,۰۸۷
Na	-۰,۰	-۰,۰۰۳	-۰,۰۰۱	-۰,۰	-۰,۰	-۰,۰	-۰,۰	-۰,۰۰۱	-۰,۰	-۰,۰۰۱	-۰,۰	-۰,۰
K	-۰,۰	-۰,۰۰۱	-۰,۰۰۱	-۰,۰	-۰,۰	-۰,۰	-۰,۰	-۰,۰۰۱	-۰,۰	-۰,۰۰۱	-۰,۰	-۰,۰۱
Mg#	-۰,۹۸	-۰,۹۵	-۰,۹۶	-۰,۹۷	-۰,۹۷	-۰,۹۵	-۰,۹۵	-۰,۹۲	-۰,۹۳	-۰,۹۴	-۰,۹۳	-۰,۹۲
Cr#	-۰,۱۴	-۰,۱۷	-۰,۱۵	-۰,۱۵	-۰,۲۱	-۰,۲۳	-۰,۲۲	-۰,۲۹	-۰,۲۲	-۰,۲۰	-۰,۲۱	-۰,۱۸
Fe#	-۰,۰۲	-۰,۰۵	-۰,۰۴	-۰,۰۳	-۰,۰۳	-۰,۰۵	-۰,۰۵	-۰,۰۷	-۰,۷	-۰,۰۶	-۰,۰۷	-۰,۰۸
Al ^{IV}	-۰,۱۰۱	-۰,۰۹۷	-۰,۱۲۱	-۰,۱۱۲	-۰,۰۶۶	-۰,۰۶۵	-۰,۰۶۷	-۰,۰۸۲	-۰,۰۷۵	-۰,۰۸	-۰,۰۷۶	-۰,۰۴۱
Al ^{VI}	-۰,۰۰۶	-۰,۰۱۲	-۰,۰۰۸	-۰,۰	-۰,۰	-۰,۰	-۰,۰	-۰,۰۰	-۰,۰۱۱	-۰,۰۱۵	-۰,۰۱۳	-۰,۰۴۱
Q	۱,۸۹۷	۱,۸۹۲	۱,۸۷۳	۱,۸۷۸	۲,۲۵۷	۲,۲۹۷	۲,۲۴۳	۲,۴۲۵	۱,۹۲	۱,۹۱۴	۱,۹۲	۱,۹۳۶
Wo	۵,۰۳	۵,۱۲	۴,۷۶	۳,۸۲	۲,۹۳	۲,۷۱	۲,۶۳	-۰,۱	۴,۸	۵,۶۷	۴,۵۷	۳,۴۴
En	۸۹,۳۶	۸۶,۷۹	۸۷,۰۷	۸۷,۹۷	۹۲,۳۴	۹۰,۳۲	۹۰,۱۸	۹۰,۳۱	۸۶,۵۶	۸۶,۸۳	۸۶,۹۹	۸۸,۴
Fs	۵,۶۱	۸,۰۹	۸,۱۷	۸,۲۱	۴,۷۳	۶,۹۷	۷,۱۹	۹,۶۸	۸,۶۴	۷,۵	۸,۴۴	۸,۱۶

$Q = \text{Cr\#} = \text{Cr}/(\text{Cr} + \text{Al})$, $\text{Fe} = \text{Fe}/(\text{Fe}^{2+} + \text{Mg})$, $\text{Mg\#} = \text{Mg}/(\text{Mg} + \text{Fe}^{2+})$, $\text{Wo} = \text{Wolstit}, \text{En} = \text{Enstatit}, \text{Fs} = \text{Frosilite}$, $\text{Al}_2\text{O}_3 = \text{Hزارزبورزیت}$, $\text{Ca} + \text{Mg} + \text{Fe}^{2+}$ محاسبه بر اساس مرجع [۲۵].

پریدوتیت‌های گوشه‌ای، مقدار TiO_2 به تدریج افزایش می‌یابد، در حالی که مقادیر Na_2O و Al_2O_3 با کاهش Mg\# کاهش تندی را نشان می‌دهند. بنا به پیشنهاد پیرس و همکارش [۲۶] مقدار TiO_2 در کلینوپیروکسن بیانگر درجه تهی‌شدگی خاستگاه گوشه‌ای و همچنین فعالیت Ti در ماقمای مولد مادر سنگ‌هاست. مقدار Ti کم در لرزولیت‌ها بیانگر رخداد ذوب‌بخشی پیشین است که سبب زودون Ti کلینوپیروکسن‌های گوشه‌ای شده است. در حالی که مقدار کلینوپیروکسن‌های پایین Ti در کلینوپیروکسن‌های موجود در هزارزبورزیت-

کلینوپیروکسن ترکیب کلینوپیروکسن پریدوتیت‌های گوشه‌ای افیولیت کرمانشاه در جدول ۱۳ ارائه شده است. چنان که از نمودار Wo و Fs و En [۱۸] مشخص است، کلینوپیروکسن‌ها دارای ترکیب دیپوپسید تا اوئیت هستند (شکل ۵ پ). در این کانی مقدار Mg\# تا اوئیت هستند (شکل ۵ پ). در این کانی مقدار $\text{Mg\#} = \text{Mg}/(\text{Mg} + \text{Fe}^{2+})$ از ۰,۹۹ تا ۰,۸۸ متغیر است. میانگین مقدار Al_2O_3 کلینوپیروکسن در هزارزبورزیت ۲,۶۶wt% و در لرزولیت‌ها ۵,۸۸wt% و در ورلیت‌ها ۵,۲۶wt% است. با کاهش مقدار Mg\# در کلینوپیروکسن‌های موجود در

کلینوپیروکسن در ورلیتها به طور میانگین برابر با wt\% ۰,۵۲ بوده که این عدد بسیار بیشتر از Na_2O موجود در کلینوپیروکسن لرزولیتها و هارزبورژیتها (با میانگین wt\% ۰,۲) است. با توجه به نزدیکی دایکهای ورلیتی با گابروهای منطقه، افزایش در مقدار Na_2O این کانی‌ها بی تاثیر از پلازیوکلاز گابروها نبوده است (جدول ۳).

های دارای کلینوپیروکسن می‌توانند نشان دهنده رخداد بیش از یک بار ذوب‌بخشی اولیه باشد. به عبارت دیگر، ذوب‌بخشی مجدد در پریدوتیتی که پیشتر یک بار دچار تهی‌شدگی شده است، می‌تواند سبب تهی‌شدگی شدید Ti در هارزبورژیتها غنی از کلینوپیروکسن گردد. مقایسه کلینوپیروکسن‌های موجود در ورلیتها با انواع موجود در دیگر پریدوتیتها نیز تفاوت‌هایی را نشان می‌دهد، از جمله مقدار Na_2O

جدول ۳ نتایج تجزیه ریزپردازش الکترونی کانی کلینوپیروکسن (Cpx) در پریدوتیت‌های گوشته‌ای مجموعه افیولیتی کرمانته.

سنگ	Du	Hz	Hz	Hz	Hz	Hz	Hz	Lz	Lz	Lz	Wh	Wh	Wh	Wh
نمونه	۲۸PR-	۲۳PR-	۲۳PR-	۲۳PR-	۱۰PR-	۱۰PR-	۱۰PR-	۱۳HZ-	۱۳HZ-	۱۳HZ-	۱-VPR	۱-VPR	۱-VPR	۱-VPR
SiO_2	۵۳,۵	۵۲,۳۱	۵۲,۶۸	۵۴,۱۸	۴۷,۸۳	۴۸,۸۹	۴۸,۷۱	۵۱,۳۸	۵۱,۵۷	۵۳,۰۸	۵۴,۷۸	۵۴,۸۸	۵۱,۱۸	۵۲,۰۸
TiO_2	۰,۰۰	۰,۰۴	۰,۰۳	۰,۰۲	۰,۰۲	۰,۰۳	۰,۰۲	۰,۰۰	۰,۰۰	۰,۰۰	۰,۰۰	۰,۰۴	۰,۰۵	۰,۰۴
Al_2O_3	۲,۶۵	۳,۶۶	۳,۲۸	۲,۹۷	۱,۹۷	۲,۰۴	۲,۰۷	۵,۴۷	۶,۰۹	۶,۰۹	۰,۷۱	۰,۵۲	۱,۰۷	۹,۱۳
Cr_2O_3	۱,۰۶	۱,۲۲	۱,۱۵	۱,۰۵	۰,۹	۱,۰۲	۱	۱,۲۶	۱,۲۷	۱,۲۲	۰,۰۲	۰,۰۰	۰,۰۰	۰,۰۱
FeO^*	۲,۸۴	۲,۴۴	۲,۲۲	۲,۰۸	۲,۷	۲,۵۹	۲,۳	۲,۵۳	۲,۸۷	۲,۹۹	۲,۱۵	۲	۴,۲	۳,۳۷
MnO	۰,۱	۰,۰۶	۰,۰۸	۰,۰۹	۰,۰۸	۰,۰۸	۰,۰۵	۰,۰۵	۰,۱	۰,۰۳	۰,۲۹	۰,۰۳	۰,۰۶	۰,۰۴
MgO	۱۸,۹۵	۱۶,۵۳	۱۶,۹۵	۱۶,۴	۲۷,۱۲	۲۶,۰۷	۲۵,۶۵	۱۶,۴۶	۱۵,۹۸	۲۲,۳	۱۷,۳۳	۱۷,۵۶	۱۸,۳۶	۱۸,۳۵
CaO	۲۱,۱۶	۲۲,۷۲	۲۲,۰۱	۲۳,۷۱	۱۹,۸۶	۱۹,۷	۱۹,۶۲	۲۳,۱۵	۲۲,۳	۱۲,۷۴	۲۵,۴۷	۲۵,۶۶	۱۳,۴۶	۱۴,۵۱
Na_2O	۰,۰۱	۰,۰۰	۰,۰۱	۰,۰۰	۰,۰۱	۰,۰۹	۰,۰۱	۰,۴۷	۰,۳۴	۱,۲۵	۰,۰۳	۰,۰۰	۱,۲۸	۰,۷۷
K_2O	۰	۰,۰۱	۰,۰۱	۰,۰۱	۰,۰۰	۰,۰۰	۰,۰۰	۰,۰۰	۰,۰۰	۰,۰۰	۰,۰۰	۰,۰۰	۰,۰۴	۰,۰۰
NiO	۰,۰۷	۰,۴	۰,۳۳	۰,۳۳	۰,۰۲	۰,۰۲	۰,۰۰	۰,۰۴	۰,۰۵	۰,۰۰	۰,۰۱	۰,۰۹	۰,۰۸	
Total	۱۰۰,۳۴	۱۰۰,۳۹	۱۰۰,۸۵	۱۰۰,۸۴	۱۰۰,۵۱	۱۰۰,۵۳	۱۰۰,۴۳	۱۰۰,۰۳	۱۰۰,۰۶	۹۹,۸۱	۱۰۰,۱	۱۰۰,۰۷	۹۹,۴۲	۹۹,۳۸
فرمول ساختاری بر پایه CaSi_2														
	<i>a.p.f.u</i>													
Si	۱,۹۳	۱,۹۴۴	۱,۹۴۴	۱,۹۶۷	۱,۶۶۵	۱,۷۰۸	۱,۷۹	۱,۸۴۸	۱,۸۶۵	۱,۸۷۸	۱,۹۷۷	۱,۹۸	۱,۸۳۳	۱,۹۱۱
Ti	۰,۰۰	۰,۰۰۱	۰,۰۰۱	۰,۰۰۱	۰,۰۰	۰,۰۰	۰,۰۰	۰,۰۰	۰,۰۰	۰,۰۰	۰,۰۰	۰,۰۰	۰,۰۰	۰,۰۰۱
Al	۰,۱۱۳	۰,۱۵۷	۰,۱۴	۰,۱۲۷	۰,۰۸۱	۰,۰۸۴	۰,۰۸۶	۰,۲۳۲	۰,۲۶	۰,۲۵۴	۰,۰۳	۰,۰۲۲	۰,۴۵۲	۰,۳۸۷
Cr	۰,۰۳	۰,۰۳۵	۰,۰۳۳	۰,۰۳	۰,۰۲۵	۰,۰۲۸	۰,۰۲۸	۰,۰۳۶	۰,۰۳۶	۰,۰۳۴	۰,۰۰	۰,۰۰	۰,۰۰	
Fe^{3+}	۰	۰,۰۰	۰,۰۰	۰,۰۰	۰,۰۵۶	۰,۰۶	۰,۰۵۷	۰,۰۷	۰,۰۰	۰,۰۴۲	۰,۰۲	۰,۰۲	۰,۰۰	
Fe^{2+}	۰,۰۸۶	۰,۰۷۴	۰,۰۷	۰,۰۶۳	۰,۰۲۳	۰,۰۱۵	۰,۰۳۹	۰,۰۰۶	۰,۰۸۷	۰,۰۴۶	۰,۰۴۷	۰,۱۲۶	۰,۱۰۱	
Mn	۰,۰۰۳	۰,۰۰۲	۰,۰۰۲	۰,۰۰۳	۰,۰۰۲	۰,۰۰۲	۰,۰۰۱	۰,۰۰۲	۰,۰۰۳	۰,۰۰۱	۰,۰۱	۰,۰۰	۰,۰۰۲	۰,۰۰۱
Mg	۱,۱۹	۰,۱۹۸	۰,۱۹۵	۰,۸۷	۱,۴۰۷	۱,۳۵۷	۱,۳۴۱	۰,۸۸۲	۰,۸۶۱	۱,۱۷۶	۰,۹۳۲	۰,۹۴۴	۰,۹۸	۰,۹۸۵
Ca	۰,۱۱۸	۰,۸۸۸	۰,۸۹۳	۰,۹۲۲	۰,۷۴۱	۰,۷۳۷	۰,۷۲۷	۰,۸۹۲	۰,۸۴	۰,۴۸۳	۰,۹۸۵	۰,۹۹۲	۰,۵۱۷	۰,۵۶
Na	۰,۰۰۱	۰,۰۰	۰,۰۰۱	۰,۰۰	۰,۰۰۱	۰,۰۰۶	۰,۰۰۱	۰,۰۰۲	۰,۰۰۴	۰,۰۰۸	۰,۰۰	۰,۰۰	۰,۰۰۸۹	۰,۰۰۵۴
K	۰,۰۰	۰,۰۰	۰,۰۰	۰,۰۰	۰,۰۰	۰,۰۰	۰,۰۰	۰,۰۰۱	۰,۰۰۱	۰,۰۰۳	۰,۰۰	۰,۰۰	۰,۰۰	
Mg#	۰,۹۲۲	۰,۹۲۴	۰,۹۲۹	۰,۹۳۴	۰,۹۸۴	۰,۹۸۹	۰,۹۷۲	۰,۹۹۳	۰,۹۰۸	۰,۹۶۲	۰,۹۵۲	۰,۹۵	۰,۸۸۶	۰,۹۰۷
Cr#	۰,۲۱۰	۰,۱۸۲	۰,۱۹۱	۰,۱۹۱	۰,۲۳۶	۰,۲۵۰	۰,۲۴۶	۰,۱۴۴	۰,۱۲۲	۰,۱۱۸	۰,۰۲۲	۰,۰۰۰	۰,۰۰۰	
Fe#	۰,۰۷۸	۰,۰۷۶	۰,۰۷۱	۰,۰۶۶	۰,۰۱۶	۰,۰۱۱	۰,۰۲۸	۰,۰۱۰	۰,۰۹۲	۰,۰۳۸	۰,۰۴۸	۰,۰۴۵	۰,۱۱۴	۰,۰۹۳
Al^{IV}	۰,۰۷	۰,۰۵۶	۰,۰۵۶	۰,۰۳۳	۰,۰۸۱	۰,۰۸۴	۰,۰۸۶	۰,۱۵۳	۰,۱۳۵	۰,۱۲۳	۰,۰۱	۰,۰۲	۰,۱۶۷	۰,۱۸۹
Al^{VI}	۰,۰۴۳	۰,۱۰۱	۰,۰۸۴	۰,۰۹۴	۰,۰۰	۰,۰۰	۰,۰۰	۰,۰۷۹	۰,۱۲۴	۰,۱۳۱	۰,۰۲۳	۰,۰۰۲	۰,۲۸۵	۰,۲۹۸
Q	۱,۹۲۳	۱,۸۶	۱,۸۷۸	۱,۸۷۲	۲,۱۷۱	۲,۱۰۹	۲,۱۱۷	۱,۷۸	۱,۸۱۲	۱,۷۰۵	۱,۹۶۴	۱,۹۸	۱,۶۲۳	۱,۶۴۶
J	۰,۰۰۲	۰,۰۰	۰,۰۰۲	۰,۰۰	۰,۰۰۲	۰,۰۱۲	۰,۰۰۲	۰,۰۶۶	۰,۰۴۸	۰,۱۷۲	۰,۰۰۴	۰	۰,۱۷۸	۰,۱۰۸
$\text{J}+\text{J}$	۰,۰۰۱	۰,۰۰	۰,۰۰۱۱	۰,۰۰	۰,۰۰۰۹۲	۰,۰۰۰۵۷	۰,۰۰۰۹	۰,۰۳۵۸	۰,۰۲۶	۰,۰۹۱۶	۰,۰۰۲	۰	۰,۰۹۹	۰,۰۶۲
Wo	۴۲,۵۴	۴۷,۷۴	۴۷,۵۵	۴۹,۲۵	۳۳,۲۷	۳۳,۹۷	۳۳,۸۹	۴۸,۱۰	۴۷,۶۸	۲۷,۶۶	۴۹,۶۹	۴۹,۶۸	۳۱,۸۴	۳۴
En	۵۲,۹۹	۴۸,۲۸	۴۸,۷۲	۴۷,۲۸	۶۳,۲۰	۶۲,۵۵	۶۱,۶۶	۴۷,۶۹	۴۷,۰۲	۶۷,۳۰	۴۷,۰۴	۴۷,۳۰	۶۰,۴۱	۵۹,۸۴
Fs	۴,۴۷	۳,۹۸	۳,۷۳	۳,۳۷	۳,۵۳	۳,۴۸	۴,۴۵	۴,۱۱	۴,۸۰	۵,۰۶	۳,۲۷	۳,۰۲	۷,۷۵	۶,۱۶

$\text{Mg} \# = \frac{\text{Mg}}{\text{Mg} + \text{Fe}^{2+}}$ ، $\text{Lz} = \frac{\text{Lz}}{\text{Lz} + \text{Wo}}$ ، $\text{Du} = \frac{\text{Du}}{\text{Du} + \text{Wo}}$ ، $\text{Wh} = \frac{\text{Wh}}{\text{Wh} + \text{Fs}}$ ، $\text{En} = \frac{\text{En}}{\text{En} + \text{Fs}}$ ، $\text{Wo} = \frac{\text{Wo}}{\text{Wo} + \text{Fs}}$ ، $\text{Fro} = \frac{\text{Fro}}{\text{Fro} + \text{Fs}}$ ، $\text{An} = \frac{\text{An}}{\text{An} + \text{Fs}}$ ، $\text{Fs} = \frac{\text{Fs}}{\text{Fs} + \text{Fs}}$ ، $\text{J} = 2\text{Na}$ ، $\text{Q} = \text{Ca} + \text{Mg} + \text{Fe}^{2+}$ ، $\text{Cr} \# = \text{Cr}/(\text{Cr} + \text{Al})$ ، $\text{Fe} = \text{Fe}/(\text{Fe}^{2+} + \text{Mg})$ بر اساس مرجع [۲۵].

است، قرار می‌گیرند. با این حال کروم اسپینل‌ها در سنگ‌های مختلف دارای نسبت‌های اندرکی متفاوت از این دو عضو انتهایی هستند. در نمودار F_0 الیوین نسبت به $Cr\#$ اسپینل [۱۹.۲۰] علاوه بر قرارگیری نمونه‌ها در میدان پریدوتیت‌های SSZ، همه آنها در میدان آرایش گوشه‌ای الیوین-اسپینل (OSMA) نیز آنها در میدان آرایش گوشه‌ای الیوین-اسپینل (OSMA) نیز قرار می‌گیرند و این نشان می‌دهد که روند یاد شده توسط ذوب بخشی و خروج وسیع گدازه شکل گرفته است (شکل ۵ ث).

چنان‌که از نمودار $Cr\#$ نسبت به $Mg\#$ در شکل ۵ ج مخصوص است، مقدار $Cr\#$ نسبت به $Mg\#$ یک رابطه معکوس دارد و این موضوع مقادیر متعددی از درجه ذوب بخشی را نشان می‌دهد که دلیل اصلی آنرا می‌توان ناهمگنی درون گوشه‌های بالایی و واکنش گدازه-سنگ [۲۷] عنوان کرد.

اسپینل

نتایج تجزیه نقطه‌ای اسپینل‌ها در جدول ۴ ارائه شده است. انواع مختلف سنگ‌های مورد بررسی از نظر ترکیبی دارای $[Cr\#=Cr/(Cr + Al)]$ در گستره $0.80 \leq Cr\# \leq 0.90$ هستند، بگونه‌ای که مقدار $Cr\#$ به تدریج از لرزولیت به سمت هارزبورزیت و دونیت افزایش می‌یابد. در حالی که $Mg\#=Mg/(Mg + Fe)$ شامل می‌شود و به طور میانگین از $0.62 \leq Mg\# \leq 0.75$ در لرزولیت به $Cr+Fe$ نسبت به $Al+Mg$ (شکل ۵ ت) آشکارا همه کروم اسپینل‌ها در $Fe(Cr, Fe^{3+})_{2O_4}$ (عضو انتهایی جایگزینی Al^{3+}) که بیانگر Al^{3+} با $MgAl_2O_4$ (عضو انتهایی کرومیت) باشد.

جدول ۴ نتایج تجزیه ریزپردازش الکترونی کانی کروم اسپینل (Cr-Spl) در پریدوتیت‌های گوشه‌ای مجموعه افیولیتی کرمانشاه.

سنگ نمونه	Du ۲۸PR-	Du ۲۸PR-	Du ۲۸PR-	Lz ۱۲HZ-	Lz ۱۳HZ-	Lz ۱۲HZ-	Hz ۲۵PR-	Hz ۲۵PR-	Hz ۲۵PR-	Hz ۲۵PR-	Hz ۱۰PR-	Hz ۱۰PR-
SiO_2	۰.۰۰	۰.۰۱	۰.۰۰	۰.۰۳	۰.۰۰	۰.۰۳	۰.۲۳	۱.۱۴	۰.۳۸	۰.۰۵	۰.۷۵	۱.۳۵
TiO_2	۰.۰۰	۰.۰۰	۰.۰۰	۰.۰۰	۰.۰۰	۰.۰۰	۰.۱۱	۰.۱۶	۰.۰۶	۰.۰۵	۰.۰۲	۰.۰۳
Al_2O_3	۲۲.۸۵	۲۲.۸۵	۲۲.۰۵	۴۸.۱۹	۴۸.۴۱	۴۸.۰۱	۱۱.۳۸	۱۱.۹۱	۱۰.۲۵	۱۱.۳۸	۱۸.۴۱	۱۱.۵۴
Cr_2O_3	۴۵.۵۳	۴۵.۷۳	۴۵.۳۸	۱۷.۸۶	۱۶.۹۶	۱۷.۷۴	۵۵.۸۵	۵۳.۴۲	۶۰.۱۷	۵۸.۲۶	۴۵.۵۳	۵۲.۴۴
FeO^*	۱۶.۵۳	۱۶.۶۳	۱۶.۶۱	۱۵.۰۶	۱۵.۴۱	۱۵.۳۷	۱۶.۱۲	۱۴.۵۵	۱۷.۰۴	۱۷.۷۴	۱۹.۶۱	۲۱.۴۳
MnO	۰.۰۰	۰.۰۰	۰.۰۰	۰.۰۰	۰.۰۰	۰.۰۰	۰.۰۰	۰.۰۰	۰.۰۰	۰.۰۰	۰.۲۲	۰.۱۹
MgO	۱۴.۱۹	۱۳.۸۸	۱۳.۹۹	۱۸.۳۸	۱۸.۷۳	۱۸.۵۱	۱۱.۱۰	۱۳.۸۵	۱۲.۴۷	۱۱.۷۳	۱۵.۹۸	۱۱.۹۲
CaO	۰.۰۱	۰.۰۲	۰.۰۱	۰.۰۰	۰.۰۰	۰.۰۰	۰.۲۲	۰.۲۸	۰.۰۰	۰.۰۲	۰.۰۱	۰.۰۲
NiO	۰.۰۹	۰.۱۱	۰.۰۸	۰.۱۶	۰.۲۰	۰.۱۶	۰.۰۲	۰.۰۴	۰.۰۴	۰.۰۹	۰.۰۷	۰.۰۷
Na_2O	۰.۰۰	۰.۰۰	۰.۰۲	۰.۰۲	۰.۰۲	۰.۰۰	۱.۶۹	۱.۲۱	۰.۱۰	۰.۳۴	۰.۰۷	۰.۱
K_2O	۰.۰۱	۰.۰۱	۰.۰۱	۰.۰۰	۰.۰۰	۰.۰۱	۱.۳۵	۰.۳۷	۰.۰۰	۰.۰۸	۰.۰۰	۰.۰۰
P_2O_5	۰.۰۰	۰.۰۰	۰.۰۰	۰.۰۲	۰.۰۰	۰.۰۰	۰.۰۲	۰.۰۴	۰.۰۰	۰.۰۰	۰.۰۰	۰.۰۴
کل	۱۰۰.۲۱	۹۹.۲۴	۹۹.۱۵	۹۹.۷۲	۹۹.۷۳	۹۹.۸۳	۹۸.۰۹	۹۶.۹۷	۱۰۰.۰۱	۹۹.۵۹	۱۰۰.۶۹	۹۹.۰۴
فرمول ساختاری بر پایه ۴ اکسیژن												
<i>a.p.f.u</i>												
Si	۰.۰۰	۰.۰۰	۰.۰۰	۰.۰۰۱	۰.۰۰	۰.۰۰۱	۰.۰۰۸	۰.۰۳۸	۰.۰۱۲	۰.۰۰۲	۰.۰۲۳	۰.۰۴
Ti	۰.۰۰	۰.۰۰	۰.۰۰	۰.۰۰	۰.۰۰	۰.۰۰	۰.۰۰۳	۰.۰۰۴	۰.۰۰۱	۰.۰۰۱	۰.۰۰	۰.۰۰
Al	۰.۸۵	۰.۸۲۶	۰.۸۳۲	۱.۵۳۶	۱.۵۳۸	۱.۵۲۸	۰.۴۵۶	۰.۴۶۴	۰.۳۹	۰.۴۳۷	۰.۶۵۸	۰.۴۴
Cr	۱۰.۹	۱.۱۱	۱.۱۰۱	۰.۳۸۲	۰.۳۶۲	۰.۳۷۹	۱.۰۵	۱.۴	۱.۰۳۵	۱.۵۰۴	۱.۰۹۲	۱.۳۵
Fe^{3+}	۰.۰۵۹	۰.۰۶۲	۰.۰۶۵	۰.۰۸۱	۰.۱	۰.۰۹۲	۰.۰۱۳	۰.۰۴۶	۰.۰۴۷	۰.۰۵۲	۰.۲۰۳	۰.۱۲
Fe^{2+}	۰.۳۶	۰.۳۶۳	۰.۳۵۹	۰.۲۶	۰.۲۴۷	۰.۲۵۶	۰.۴۴۴	۰.۳۵	۰.۴۱۴	۰.۴۳۱	۰.۲۹۵	۰.۴۶
Mn	۰.۰۰	۰.۰۰	۰.۰۰	۰.۰۰	۰.۰۰	۰.۰۰	۰.۰۰	۰.۰۰	۰.۰۰	۰.۰۰	۰.۰۰۶	۰.۰۱
Mg	۰.۶۴	۰.۶۳۵	۰.۶۴	۰.۷۴۱	۰.۷۵۳	۰.۷۴۵	۰.۵۶۳	۰.۶۸۳	۰.۶	۰.۵۷۱	۰.۷۲۳	۰.۵۸
Ca	۰.۰۰	۰.۰۰۱	۰.۰۰۱	۰.۰۰	۰.۰۰	۰.۰۰	۰.۰۰۷	۰.۰۱	۰.۰۰	۰.۰۰۱	۰.۰۰۱	۰.۰۰
Ni	۰.۰۰۲	۰.۰۰۳	۰.۰۰۲	۰.۰۰۴	۰.۰۰۵	۰.۰۰۴	۰.۰۰۱	۰.۰۰۱	۰.۰۰۱	۰.۰۰۱	۰.۰۰	۰.۰۰
Fe_2O_3	۲.۵۹	۲.۷۰	۲.۸۳	۳.۹۸	۴.۹۴	۴.۵۲	۰.۵۱	۱.۸۶	۱.۹۳	۲.۱۲	۸.۸۸	۴.۹۴
FeO	۱۴.۲۰	۱۴.۲۰	۱۴.۰۶	۱۱.۴۸	۱۰.۹۷	۱۱.۳۱	۱۵.۶۶	۱۲.۸۸	۱۵.۳۰	۱۵.۸۳	۱۱.۶۲	۱۶.۹۸
$Mg\#$	۰.۶۴	۰.۶۴	۰.۶۴	۰.۷۴	۰.۷۵	۰.۷۴	۰.۵۶	۰.۶۶	۰.۵۹	۰.۵۷	۰.۷۱	۰.۵۶
$Cr\#$	۰.۵۶	۰.۵۷	۰.۵۷	۰.۲۰	۰.۱۹	۰.۲۰	۰.۷۷	۰.۷۵	۰.۸۰	۰.۷۷	۰.۶۲	۰.۷۵
$Fe^{3+\#}$	۰.۳	۰.۳	۰.۰۳	۰.۰۴	۰.۰۵	۰.۰۵	۰.۰۱	۰.۰۲	۰.۰۲	۰.۰۳	۰.۱۰	۰.۰۶
$TiO_{2(lq)}$	۰.۰۰	۰.۰۰	۰.۰۰	۰.۰۰	۰.۰۰	۰.۰۰	۰.۱۹	۰.۲۵	۰.۱۱	۰.۱	۰.۰۵	۰.۰۶
$Al_2O_{3(lq)}$	۱۴.۸۱	۱۴.۵۵	۱۴.۶۱	۱۹.۸۱	۱۹.۸۲	۱۹.۷۹	۱۰.۹۱	۱۱.۱۲	۱۰.۴۵	۱۰.۹۱	۱۳.۱۸	۱۰.۹۶
$FeO/MgO_{(lq)}$	۰.۹۷	۰.۹۸	۰.۹۶	۰.۷۳	۰.۷	۰.۷	۱.۱۲	۰.۷۴	۰.۹۳	۱.۰۵	۰.۶۱	۱.۱

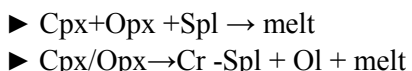
هارزبورزیت، $Du =$ دونیت، $Lz =$ لرزولیت، $Cr\#=Cr/(Cr + Al)$ ، $Fe=Fe/(Fe^{2+}+Mg)$ ، $Mg\# = Mg/(Mg+Fe^{2+})$ ، محاسبه $Al_2O_{3(lq)}$ بر اساس مرجع [۲۴]، محاسبه $TiO_{2(lq)}$ بر اساس مرجع [۲۵]، محاسبه $FeO/MgO_{(lq)}$ بر اساس مرجع [۲۸]، محاسبه $FeO/MgO_{(lq)}$ بر اساس مرجع [۲۹].

بحث

و منجر به تشکیل تیغه‌های جدایشی کلینوپیروکسن شود. در نتیجه، با توجه به حضور تیغه‌های جدایشی کلینوپیروکسن در ارتوبیروکسن هارزبورژیت‌های مناطق مورد بررسی، می‌توان گفت شکل‌گیری این بافت در سنگ‌های پریدوتیتی بررسی شده به سبب سرد شدن همراه با کاهش فشار بر پریدوتیت‌های گوشته‌ای که خود در اثر ذوب‌بخشی گوشته‌ی تکامل یافته یا اولیه به وجود آمده‌اند و یا به وسیله واکنش اولیه گدازه-سنگ شکل‌گرفته‌اند، ایجاد شده است.

تشکیل برخی بافت‌های مشاهده شده در سنگ‌های پریدوتیتی مورد بررسی به طور کامل نتیجه ذوب‌بخشی است. از اینگونه بافت‌ها در مقاطع میکروسکوپی بررسی شده می‌توان به اسپینل‌های محصور شده (شکل ۴ ث) و دانه‌های زنجیر مانند اسپینل (شکل ۵ ج) اشاره کرد. اسپینل‌های محصور شده به طور گستردۀ در پریدوتیت‌های دیده می‌شوند که به طور کامل وابسته به ذوب‌بخشی باشند [۳۳]. برخی پژوهشگران [۳۴] نیز پیشنهاد می‌کنند که این بافت به سبب واکنش گدازه-سنگ در گوشته حاصل می‌شود؛ البته به اعتقاد دریسکول و همکاران [۳۵] چنین سیمایی می‌تواند دال بر ترسیب همزمان کروم اسپینل با الیوین باشد. از آنجا که کلینوپیروکسن اولیه می‌تواند به عنوان یک ذخیره بسیار مهم از Cr در گوشته بالایی به شمار آید لذا معمولاً در مقایسه با ارتوبیروکسن شامل از Cr_2O_3 ۱-۲wt% است [۳۶، ۳۱]. ذوب‌بخشی ارتوبیروکسن حاوی Cr می‌تواند بر اساس واکنش زیر منجر به آزاد سازی Cr شود [۳۷]

► $\text{Cr-Opx}_{(\text{partial melting})} \rightarrow \text{Opx}_{(\text{depleted})} + \text{Cpx} + \text{Spl}$
در نمونه‌های مورد بررسی وقوع درجه بالای ذوب‌بخشی در هارزبورژیت‌های منطقه و همچنین واکنش گدازه-سنگ شرایط افزایش فراوانی کروم اسپینل را فراهم آورده است (شکل ۴ ث). وقوع این بافت در نمونه‌های مورد بررسی بوسیله واکنش‌های زیر قابل توجیه است:



از آنجا که دونیت‌ها در فرامافیک‌های مناطق هرسین، صحنه، نورآباد و میانراهن بصورت اجزاء کوچکی هستند، لذا بیشتر از آنکه بتوان تشکیل آنها را ناشی از بقایای ذوب‌بخشی گستردۀ

هرچند تشکیل برخی بافت‌ها در سنگ‌های آذرین به فرایند خاصی محدود نیست و شکل‌گیری آنها نتیجه چندین فرآیند مختلف است، اما برخی دیگر از این بافت‌ها دلالت بر رخداد فرآیند سنگ‌شناسی ویژه‌ای دارند [۳۰]. در مناطق صحنه، هرسین-نورآباد و میانراهن، بافت‌ها و ترکیب شیمیایی کانی‌های موجود در سنگ‌های فرامافیک شواهد واضحی از سرد شدن همراه با کاهش فشار، ذوب‌بخشی و واکنش گدازه-سنگ را در خود حفظ نموده‌اند که در ادامه به ترتیب با توجه به هریک از این شواهد (بافتی و شیمی کانی) به تفسیر فرآیندهای سنگ‌زایی و محیط زمین‌ساختی مانگماهی پرداخته می‌شود. شکل‌گیری برخی بافت‌های موجود در سنگ‌های فرامافیک ناشی از سرد شدن همراه با کاهش فشار است. از جمله بافت‌هایی که طی سرد شدن/کاهش فشار در سنگ‌های مورد بررسی می‌توان به آنها اشاره کرد تیغه‌های جدایشی کلینوپیروکسن در ارتوبیروکسن است (شکل‌های ۴ ت و ج). این نوع بافت ناشی از سردشدن، به طور گستردۀ در پریدوتیت‌های آبیسال و SSZ دیده می‌شود [۲۳]. به اعتقاد رولینسون [۲۴] چنین جدایش‌هایی در نتیجه کاهش انحلال (به عنوان مثال کلینوپیروکسن و حتی اسپینل در ارتوبیروکسن) می‌تواند در اثر سرد شدن و یا کاهش فشار ایجاد شود. برخی محققین چنین بافتی را ناشی از وقوع ذوب‌بخشی که با یک واکنش (به شکل باز تبلور ایستا) دنبال شده است، تفسیر نموده‌اند برخی نیز تشکیل آنرا ناشی از ذوب‌بخشی پریدوتیت در شرایط فشار کم (میدان اسپینل) که سبب حذف کلینوپیروکسن شده است، عنوان کرده‌اند [۳۱].

نومان [۳۲] پیشنهاد کرد که تیغه‌های جدایشی کلینوپیروکسن در ارتوبیروکسن می‌تواند از ابقا شدن ارتوبیروکسن‌های نسل اول حاصل شده باشند، بگونه‌ای که خود این ارتوبیروکسن‌ها از ذوب نامتجانس پورفیروکلاستهای الیوین به وجود آمده‌اند.

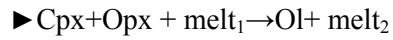
آزمایش‌های انجام شده نشان می‌دهد که ارتوبیروکسن ممکن است در حضور H_2O بصورت نامتجانس در فشار بالاتر از ۲۰ کیلو بار و دمای بیش از ۱۲۰۰ درجه سانتیگراد ذوب شده

گدازه-سنگ در پریدوتیت‌های SSZ نسبت به پریدوتیت‌های مغایک است [۱۹]. از سوی دیگر در مقایسه با پریدوتیت‌های مغایک، بیشتر پیروکسن‌های موجود در پریدوتیت‌های SSZ با مقادیر بسیار پایین Al و Ti و بطور کلی با مقادیر Mg# بالاتر از ۰,۹۰ مشخص می‌شوند [۳۹]. این موضوع برای پیروکسن‌های مورد بررسی آشکارا مشخص است، بگونه‌ای که متوسط مقدار Mg# برای کلینوپیروکسن‌ها و ارتوپیروکسن‌ها به ترتیب برابر با ۰,۹۴ و ۰,۹۵ است (جدول‌های ۳ و ۴).

نتایج تجزیه کروم اسپینل‌های مورد بررسی در نمودار Cr₂O₃ نسبت به Al₂O₃ (شکل ۶ ب) علاوه بر تایید شکل ۵ در مورد قرارگیری نمونه‌ها در گستره آرایه گوشتی‌های الیون-اسپینل، نتیجه به دست آمده از نمودار شکل ۵ ج، را نیز از نظر ارتباط محیط زمین‌ساختی مانگمازی پریدوتیت‌ها مورد بررسی با محیط قوس تایید می‌کند. هارزبورژیت و دونیت‌های موجود در پریدوتیت‌هایی که محیط شکل‌گیری آنها وابسته به مناطق بالایی پهنه‌های فرورانش و یا قوس‌های آتشفشانی است، از گدازه‌هایی با نرخ ذوب‌بخشی بیش از ۲۰٪ و در شرایط ذوب آبدار گوشه‌های اولیه نتیجه می‌شوند، به طوری که این درجه ذوب‌بخشی بالا سبب ایجاد نسبت بالایی از Cr/Al در اسپینل آنها می‌شود [۲۳]. مقادیر بالای نسبت Cr/Al در اسپینل‌های مناطق مورد بررسی (با میانگین ۲,۰۱، جدول ۴) و نرخ ذوب‌بخشی بیش از ۲۵٪ برای هارزبورژیتها و دونیت‌های منطقه (شکل ۵ ث)، تایید دیگری بر وابستگی زمین‌ساختی این پریدوتیت‌ها به محیط قوس به شمار می‌آید.

بر اساس نظر مارل و همکارش [۲۸] مقدار Al₂O₃ در کروم اسپینل توسط مقدار Al₂O₃ در گدازه مولد کنترل می‌شود و می‌توان آنرا با استفاده از رابطه $Al_2O_3(wt\%)_{in\ Parental}^{2/42} = 0/035 \times Al_2O_3(wt\%)_{in\ Cr-SpI}^{Melt}$ محاسبه کرد. مقدار Al₂O₃ محاسبه شده نمونه‌ها به این ترتیب برای گدازه مولد مادر در جدول ۴ ارائه شده است. این مقدار برای هارزبورژیتها و دونیت‌های مورد بررسی در گستره ۱۰ تا ۱۴ تغییر می‌کند. مقدار Al₂O₃ محاسبه شده ترکیبات بونیتی و IAT در گدازه

تلقی نمود، شکل‌گیری آنها به عنوان فراورده‌های واکنش گدازه-سنگ توجیه‌پذیر است، به این ترتیب که با مهاجرت گدازه از سنگ پریدوتیتی کلینوپیروکسن و ارتوپیروکسن حل شده و الیون را به صورت واکنش‌های زیر ترسیب نموده است (شکل ۴ الف):



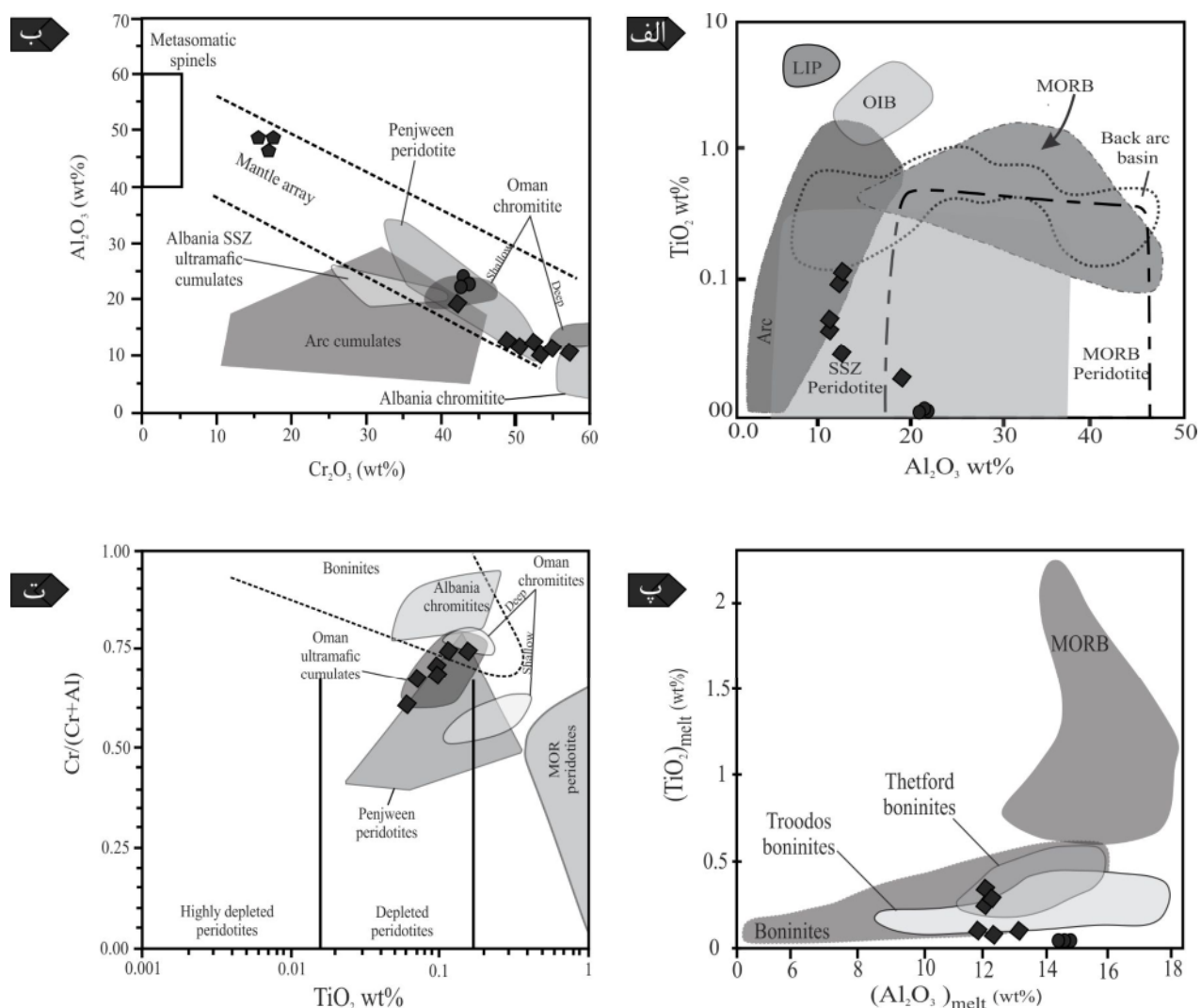
بسیاری از داده‌های زمین‌شیمیایی پریدوتیت‌های گوشتی‌ای بر زمین‌شیمی سنگ کل متمرکز است. اما ترکیب شیمی کانی-های موجود در این سنگ‌ها از آنجا که حساسترین شاخص‌ها در شناخت تکامل سنگ‌های فرامافیک به شمار می‌آیند، یکی از مفیدترین ابزارها را برای شناخت محیط تشکیل افیولیت‌ها در اختیار ما قرار می‌دهند.

به اعتقاد پیرس و همکاران [۳۶] افیولیت‌ها به دو گروه مغایکی و پهنه فرافورانش تقسیم می‌شود. به تازگی نیز افیولیت‌ها را به دو گروه وابسته به فرورانش (شامل انواع پهنه فرافورانش و جزایر قوسی) و غیر وابسته به فرورانش (شامل انواع کرانه قاره، کافت میان اقیانوسی و زبانه) تقسیم نموده‌اند [۱]. ترکیب شیمیایی کانی کروم اسپینل از جمله مقدار عدد کروم و اکسیدهای منیزیم، آلومینیوم و تیتانیوم این کانی معیارهای مناسبی برای تعیین نرخ ذوب‌بخشی و واکنش گدازه-سنگ هستند. نتایج حاصل از نمودار Al₂O₃ نسبت به TiO₂ [۳۸, ۲۱] کروم اسپینل‌های پریدوتیت کرمانشاه با جلوی قوس همخوانی دارند (شکل ۶ الف). هرچند مناطق جلوی قوس ممکن است هم شامل پریدوتیت‌های SSZ و هم پریدوتیت‌های مغایک باشند اما در این حالت و چنان که از نمودار یاد شده نیز بر می‌آید، همخوانی با پریدوتیت‌های SSZ بطور معمول غالب‌تر است [۳۶]. از طرفی پریدوتیت‌های شکل گرفته در محیط‌های SSZ با حضور کروم اسپینل‌هایی با Cr# بسیار بالاتر از آنچه در پریدوتیت‌های مغایک موجود است، از یکدیگر جدا می‌شوند، به طوری که مقدار Cr# در کروم اسپینل پریدوتیت‌های SSZ گستره‌ای از ۳۸ تا ۳۸ تا بالاتر از ۸۰ و در پریدوتیت‌های مغایک از ۳۸ تا ۵۸ را در بر می‌گیرد. این موضوع همانند مقدار Cr# نمونه‌های مورد بررسی (جدول ۴) هم بیانگر درجات بسیار بالایی از ذوب‌بخشی و هم وقوع واکنش

مولد مادر نوع بونینیتی همخوانی دارد (جدول ۴). مقدار TiO_2 و Al_2O_3 محاسبه شده در گدازه مولد مادر برای کروم اسپینل در شکل ۶ پ آورده شده است. چنان که از این شکل نیز مشخص است ترکیب گدازه در میدان سنگ‌های بونینیتی قرار می‌گیرد.

مولد مادر به ترتیب در گستره ۱۰ تا ۱۴ درصد وزنی و ۱۲ تا ۱۶ درصد وزنی است [۴۰].

برای محاسبه مقدار TiO_2 در کروم اسپینل گدازه مولد مادر می‌توان از رابطه $TiO_2 (wt\%)_{melt} = 1.0963 \times TiO_2 (wt\%)_{Cr-Spl}^{0.7863}$ استفاده کرد [۲۴]. مقدار TiO_2 محاسبه شده برای نمونه‌ها از ۰ تا ۰/۲۵ درصد وزنی متغیر است که سازگار با یک گدازه



شکل ۶ **الف:** نمودار Al_2O_3 / TiO_2 نسبت به TiO_2 کروم اسپینل پریدوتیت‌های مجموعه افیولیتی کرمانشاه. (میدان‌ها از مراجع [۳۵ و ۱۹]). **ب:** نمودار Cr_2O_3 / Al_2O_3 نسبت به Al_2O_3 کروم اسپینل پریدوتیت‌های مجموعه افیولیتی کرمانشاه. **پ:** نمودار TiO_2 نسبت به Al_2O_3 melt کروم اسپینل (میدان‌های بونینیت از [۲۲]، بونینیت ترودوس از [۴۱]، بونینیت تدفورد از [۴۲]، و MORB از [۴۳]). **ت:** نمودار $Cr / (Cr+Al)$ نسبت به TiO_2 کروم اسپینل پریدوتیت‌ها (میدان‌های پریدوتیت آبیسال از [۲۰]، کرومیت‌های عمان از [۲۳]، کوموله‌های عمان از [۲۰] و پریدوتیت‌های پنجوین از [۶] برای مقایسه آورده شده‌اند). علائم همانند شکل ۵.

بسیار پایین کلینوپیروکسن و الیوین غنی از منیزیم هم بسیار تهی شده هستند و هم دستخوش درجات بالایی از ذوب‌بخشی شده‌اند.

۳- بونینیت‌ها از نظر شیمیایی به دو گروه وابسته به جلوی قوس و وابسته به پشت قوس تقسیم می‌شوند، اما این گونه گدازه‌ها در محیط‌های جلوی قوس به نسبت حوضه پشت قوس فراوانی بیشتری دارند. شیمی کانی اسپینل در پریدوتیت‌ها بیانگر این است که بونینیت‌های وابسته به جلوی قوس مسؤول شکل‌گیری کانی کرومیت با $\#Mg$ بالا و مقدار پایین Ti و Al در افیولیت کرمانشاه است. افزایش عدد کروم در اسپینل موجود در لرزولیت تا دونیت‌ها با ذوب‌بخشی و فرایند جدایش گدازه همخوانی دارد.

۴- ترکیب گوشه سنگ کره‌ای در محیط‌های کششی فقط متأثر از درجات مختلف ذوب‌بخشی در اعماق مختلف نیست، بلکه واکنش گدازه-سنگ نیز یک عامل مؤثر در تغییر ترکیب گوشه است. شواهد بافتی و کانی‌شناسی در پریدوتیت‌های افیولیت کرمانشاه، بیانگر وقوع واکنش گدازه-سنگ هستند. این شواهد همچنین نشان می‌دهند که در تشکیل فرامافیک‌ها علاوه بر واکنش گدازه-سنگ، درجات مختلف ذوب‌بخشی گوشه نیز عاملی تاثیر گذار بوده است.

۵- شواهد صحرایی و شیمیایی دایک‌های ورلیتی مرز پریدوتیت - گابروها نشان می‌دهد که نفوذ گابروها به داخل پریدوتیت‌ها در اثر شیب گرمایی و شیمیایی سبب وقوع واکنش و هجوم عناصر به سمت مرز پریدوتیت و گابر و شده که پیامد آن شکل‌گیری کانی‌های جدید چون کلینوپیروکسن و الیوین بوده است. دمای بالای توده‌های گابریوی، هجوم Al_2O_3 و CaO از سمت پریدوتیت‌های گوشه و هجوم MgO از سمت گابر به منطقه مرزی و انجام واکنش‌های دگرنهادی، شرایط تشکیل این سنگ‌ها را فراهم نموده است.

مراجع

- [1] Dilek Y., Furnes H., "Ophiolite genesis and global tectonics: geochemical and tectonic fingerprinting of ancient oceanic lithosphere", Geological Society of America Bulletin 123 (2011) 387–411.

مقدار FeO/MgO اسپینل در گدازه مولد مادر بر اساس

رابطه زیر [۲۹] محاسبه و در جدول ۴ آرائه شده است:

$$Ln(FeO/MgO)_{Cr-Spl} = 0.47 - 1.07Y_{Cr-Spl}^{Al} + 0.64Y_{Cr-Spl}^{Fe^{3+}}$$

$$Y_{Cr-Spl}^{Al} = Al/(Al + Cr + Fe^{3+}), (Al + Cr + Fe^{3+})$$

$$Y_{Cr-Spl}^{Fe^{3+}} = Fe^{3+}/$$

مقدار نسبت FeO/MgO محاسبه شده برای گدازه‌های

مولد مادر از ۰/۶۱ تا ۱/۱۲ متغیر است که به نسبت بالاتر از

مقدار مورد انتظار برای گدازه‌های بونینیتی اولیه (۰/۵ - ۰/۸)

است [۴۰] اما بیشتر مقادیر به دست آمده قبل مقایسه با

نسبت FeO/MgO در بونینیت‌های افیولیت‌های عمان (۰/۷ - ۰/۷)

است [۴۴].

در نمودار TiO_2 نسبت به $Cr\#$ اسپینل (شکل ۶ ت)

نمونه‌ها با میدان پریدوتیت‌های تهی شده همپوشی دارند. نتایج

حاصل از محیط زمین‌ساختی ماقمایی قوس به همراه

قرارگیری نمونه‌ها در میدان ترکیبی بونینیت (همجوار با

بونینیت‌های ترودوس و تدفورد) و نزدیکی با پریدوتیت‌های

پنجوین و عمان (قوس، SSZ) نشان می‌دهد که پریدوتیت

مناطق صحنه، هرسین- نورآباد و میانراهن متشكل از

ماگماهای بونینیتی جلوی قوس (مانند پیکریت‌ها و توله‌ایت-

های جزایر قوسی) در موقعیت SSZ است.

برداشت

۱- فرامافیک‌های تهی شده در افیولیت‌های کرمانشاه اسپینل-

های غنی از Cr با مقدار پایینی از TiO_2 دارند که مشابه با

اسپینل موجود در هارزبورژیت‌های جلوی قوس هستند. در

بالای پهنه‌های فرورانش، ذوب در شرایط کاهش فشار به سبب

حضور H_2O مشتق شده از زبانه فرورو تسهیل و تقویت می-

شود. حضور آب پس از فرایند آبزدایی زبانه فرورو می‌تواند نقطه

ذوب را کاهش دهد و منجر به درجات بالایی از ذوب‌بخشی

پریدوتیت‌هایی گردد که به طور متغیر دچار تهی شدگی

گردیده‌اند، شود.

مقدار فراوانی کلینوپیروکسن در پریدوتیت‌ها بیانگر درجه

تهی شدگی آنهاست، به علاوه مقدار فورستریت الیوین مقیاسی

برای درجه ذوب کل است. لذا بر اساس این معیارها، پریدوتیت

مناطق صحنه، هرسین- نورآباد و میانراهن با مقدار مodal

- tectonic", Arabian Journal of Geosciences* 8 (2015) 8347–8360.
- [10] Mousavi S. A., Aliani F., Maani Jo M., Sepahi Garo A.A., "Petrology and Geochemistry of the pillow lava, mafic and felsic rocks in Sahneh-Harsin Ophiolite sequence, North East of Kermanshah", *Iranian Journal of Crystallography and Mineralogy* 2(2013) 253-266.
- [11] Zarei Sahamieh R., Moradpour A., "Geochemistry and petrology of the Harsin-Sahneh ophiolitic complex (NE Kermanshah-West of Iran) Implication for the tectonic of Southern Neo-Tethys", *Iranian Journal of Crystallography and Mineralogy* 2(2015) 331-344.
- [12] Shahidi M., Nazari H., "Geological map of Harsin", 1/100.000 scale. Geological Survey of Iran, Tehran, 1997.
- [13] Rafia R., Shahidi A., "Geological map of Mianrahan", 1/100.000 scale. Geological Survey of Iran, Tehran, 1999.
- [14] Braud J., "Geological map of Kermanshah", 1/250.000 scale. Tehran: Geological Survey of Iran, 1978.
- [15] Ricou L.E., Braud J., Brunn J.H., "Le Zagros. Livre à la Mémoire de Albert F. de Lapparent. Soc", Geologique de France, Mémoire hors-série 8 (1977) 33–52.
- [16] Whitney D.L., Evans B.W., "Abbreviations for names of rock-forming minerals", *American Mineralogist*, 95(2010) 185-187.
- [17] Deer W. A., Howie R. A., Zussman J., "An introduction to the rock forming minerals", 2nd edition Pearson Education Limited, United Kingdom, 1992.
- [18] Morimoto N., "Nomenclature of pyroxenes" , *Canadian Mineralogist* 27(1989) 143-156.
- [19] Arai S., "Characterisation of spinel peridotites by olivine-spinel compositional relationships: review and interpretation", *Chemical Geology* 113(1994) 191–204.
- [20] Dick H.J.B., Bullen T., "Chromian spinel as a petrogenetic indicator in abyssal and alpine-type peridotites and spatially associated lavas", *Contributions to Mineralogy and Petrology* 86(1984) 54–76.
- [21] Barnes S.J., Roeder P.L., "The range of spinel composition in terrestrial mafic and ultramafic rocks", *Journal of Petrology* 42(2001) 2279–2302.
- [2] Whitechurch H., Omrani J., Agard P., Humbert F., Montigny R., Jolivet L., "Evidence for Paleocene–Eocene evolution of the foot of the Eurasian margin (Kermanshah ophiolite, SW Iran) from back-Arc to arc: implications for regional geodynamics and obduction", *Lithos* 182-183 (2013) 11–32.
- [3] Saccani E., Allahyari K., Beccaluva L., Bianchini G., "Geochemistry and petrology of the Kermanshah ophiolites (Iran): implication for the interaction between passive rifting, oceanic accretion, and OIB-type components in the Southern Neo-Tethys Ocean", *Gondwana Research* 24 (2013), 392–411.
- [4] Allahyari K., Saccani E., Rahimzadeh B., Zeda O., "Mineral chemistry and petrology of highly magnesian ultramafic cumulates from the Sarve-Abad (Sawlava) ophiolites (Kurdistan, NW Iran): new evidence for boninitic magmatism in intra-oceanic forearc setting in the Neo-Tethys between Arabia and Iran", *Journal of Asian Earth Sciences*, 79 (2014), 312–328.
- [5] Aswad K.J.A., Aziz N.R.H., Koyi H.A., "Cr-spinel compositions in serpentinites and their implications for the petrotectonic history of the Zagros Suture Zone, Kurdistan Region, Iraq", *Geological Magazine*, 148 (2011), 802–818.
- [6] Agard P., Omrani J., Jolivet L., Whitechurch H., Vrielynck B., Spakman W., Monie P., Meyer B., Wortel R., "Zagros orogeny:a subduction-dominated process", *Geological Magazine*, 148 (2011) 692–725.
- [7] Xiao W., Santosh M., "The western Central Asian Orogenic Belt: a window to accretionary orogenesis and continental growth", *Gondwana Research*, 25 (2014) 1429–1444.
- [8] Ao S., Xiao W., Khalatbari Jafari M., Talebian M., Chen L., Wan B., Ji W., Zhang Z., "U-Pb zircon ages, field geology and geochemistry of the Kermanshah ophiolite (Iran): From continental rifting at 79 Ma to oceanic core complex at ca. 36 Ma in the southern Neo-Tethys", *Gondwana Research* 31 (2016) 305–318.
- [9] Zarei Sahamieh R., Moradpour A., "Geochemistry and petrology of Harsin-Sahneh ophiolitic complex (NE of Kermanshah-west of Iran) an evidence of Southern Neo-Tethys Ocean

- for melt infiltration in the upper mantle", Contributions to Mineralogy and Petrology 106 (1991) 236–252.*
- [33] Saumur B.M., Hattori K., "Zoned Cr-spinel and ferritchromite alteration in forearc mantle serpentinites of the Rio San Juan Complex, Dominican Republic", Mineralogy Magazine. 77(2013) 117–136.
- [34] Siena F., Coltorti M., "Thermobarometric evolution and metasomatic processes of upper mantle in different tectonic settings; evidence from spinel peridotite xenoliths", European Journal of Mineralogy 5(1993)1073–1090.
- [35] O'Driscoll B., Emeleus C.H., Donaldson C.H., Daly J.S., "Cr-spinel seam petrogenesis in the rum layered suite, NW Scotland: cumulate assimilation and in situ crystallization in a deforming crystal mush", Journal of Petrology 51(2010) 1171–1201.
- [36] Pearce J.A., Barker P.F., Edwards S., Parkinson I.J., Leat P.T., "Geochemistry and tectonic significance of peridotites from the South Sandwich arc-basin system, South Atlantic", Contributions to Mineralogy and Petrology 139 (2000) 36–53.
- [37] Bézard R., Hébert R., Wang Ch., Dostal J., Dai J., Zhong H., "Petrology and geochemistry of the Xiugugabu ophiolitic massif, western Yarlung Zangbo suture zone, Tibet", Lithos 125(2011) 347–367.
- [38] Kamenetsky V.S., Crawford A.J., Meffre S., "Factors controlling chemistry of magmatic spinel: an empirical study of associated olivine, Cr-spinel and melt inclusions from primitive rocks", Journal of Petrology 42(2001) 655–671.
- [39] Choi S.H., Shervais J.W., Mukasa S.B., "Supra-subduction and abyssal mantle peridotites of the Coast Range ophiolite", Contributions Mineralogy and Petrology 156(2008) 551–576.
- [40] Dilek Y., Thy P., "Island arc tholeiite to boninitic melt evolution of the Cretaceous Kizildag (Turkey) ophiolite: model for multi-stage early arc-forearc magmatism in Tethyan subduction factories", Lithos 113(2009) 68–87.
- [41] Cameron W.E., "Petrology and origin of primitive lavas from the Troodos ophiolite Cyprus", Contributions to Mineralogy and Petrology 89(1985) 239-255.
- [22] Parkinson I.J., Pearce J.A., "Peridotites from the Izu–Bonin–Mariana forearc (ODP Leg 125): evidence for mantle melting and melt-mantle interaction in a suprasubduction zone setting", Journal of Petrology 39(1998)1577–1618.
- [23] Tamura A., Arai S., "Harzburgite–dunite–orthopyroxenite suite as a record of supra-subduction zone setting for the Oman ophiolite mantle", Lithos 90(2006) 43–56.
- [24] Rollinson H., "The geochemistry of mantle chromitites from the northern part of the Oman ophiolite: inferred parental melt compositions", Contribution to Mineralogy and Petrology 156(2008) 273–288.
- [25] Droop G.T.R., "A general equation for estimating Fe^{3+} concentrations in ferromagnesian silicates and oxides from microprobe analyses, using stoichiometric criteria", Mineralogical Magazine 51(1987) 431–435.
- [26] Pearce J.A., Norry M.J., "Petrogenetic implications of Ti, Zr, Y, and Nb variations in volcanic rocks", Contributions to Mineralogy and Petrology 69(1979) 33–47.
- [27] Wang C.S., Li Y., Liu Z.F., Liu X.H., Tang J.X., Hébert R., Dubois, C., Huot V., "Yarlung-Zangbo ophiolites revisited: from geological survey to mineral records", Acta Geology Sinica 79(2005) 323–330.
- [28] Maurel C., Maurel P., "Etude expérimental de la distribution de l'aluminium entre bain silicate basique et spinelle chromifère. Implications pétrogenétiques: teneur en chrome des spinelles", Bulletin de Mineralogie 105(1982) 197–202.
- [29] Augé T., "Chromite deposits in the northern Oman ophiolite", mineralogical constraints Mineralium Deposita 22(1987) 1–10.
- [30] Xu-Ping L., Hong-Kai C., Ze-Li W., Li-Jun W., Jing-Sui Y., Rolinson P., "Spinel peridotite, olivine websterite and the textural evolution of the Purang ophiolite complex, western Tibet", Journal of Asian Earth Sciences 110 (2015) 55-71
- [31] Seyler M., Lorand J.-P., Dick H.J.B., Drouin M., "Pervasive melt percolation reactions in ultra-depleted refractory harzburgites at the Mid-Atlantic Ridge", Contributions to Mineralogy and Petrology153(2007) 303–319.
- [32] Neumann E.R., "Ultramafic and mafic xenoliths from Hierro, Canary Islands: evidence

ocean ridge basalts", Geochemical Society Special Paper 1(1987) 75-89.

[44] Ishikawa T., Nagaishi K., Umino S., "Boninitic volcanism in the Oman ophiolite: implications for thermal condition during transition from spreading ridge to arc", Geology 30(2002) 899-902.

[42] Page P., Barnes S.J., "Using trace elements in chromites to constrain the origin of podiform chromitites in the Thetford Mines Ophiolite, Québec, Canada", Economic Geology 104(2009) 997-1018.

[43] Presnall D.C., Hoover J.D., "High pressure phase equilibrium constraints on the origin of mid-